

第四章 插值与拟合

在许多实际问题及科学研究中，各因素之间往往存在着函数关系，但这种函数关系很难给出解析表达，而只是通过观察或测试得到一些离散数值。有时，虽然给出了解析表达式，但由于解析表达式过于复杂，使用或计算起来十分麻烦。于是，这就需要**建立函数的某种近似表达**，本章所讨论的**多项式插值**和**最小二乘拟合**就是函数近似表达的一种形式。

§ 1 插值概念与基础理论

1.1 插值问题提法

给定函数 $f(x)$ 在区间 $[a, b]$ 上的 $n+1$ 个函数值：

x	x_0	x_1	\dots	x_n
$f(x)$	$f(x_0)$	$f(x_1)$	\dots	$f(x_n)$

(4.1)

x_0, x_1, \dots, x_n 为 $[a, b]$ 上 $n+1$ 个互不相同的点， Φ 为给定的某一个函数类。若 Φ 上有函数 $\varphi(x)$ ，满足

$$\varphi(x_i) = f(x_i), i = 0, 1, 2, \dots, n \quad (4.2)$$

则称 $\varphi(x)$ 为 $f(x)$ 关于结点 x_0, x_1, \dots, x_n 在 Φ 上的**插值函数**。点 x_0, x_1, \dots, x_n 称为**插值结点**， $[a, b]$ 称为插值区间， $f(x)$ 称为**被插函数**。

- **几何意义：**根据插值定义，插值函数实际上是一条经过平面上点 $(x_i, f(x_i))_{i=0,1,\dots,n}$ 的曲线，这条平面曲线函数，就可

作为 $f(x)$ 的逼近函数。

● 关于函数插值，需要解决几个问题：

(1) 如何根据 $f(x)$ 的信息，**确定插值函数类** Φ 。

(2) 给定了被插函数 $f(x)$ 的插值结点 $\{x_i\}_{i=0}^n$ 及插值函数类 Φ ，满足插值条件 $\varphi(x_i) = f(x_i)_{i=0,1,\dots,n}$ 的插值函数 $\varphi(x)$ 是否存在？若存在，则是否唯一？即插值的**存在唯一性问题**。

(3) 若插值函数存在唯一，如何寻求或**构造插值函数**。

(4) $\varphi(x)$ 作为 $f(x)$ 的逼近函数，存在逼近误差，如何**估计逼近误差** $f(x) - \varphi(x)$ 。进而，当无穷加密插值结点，相应地扩充插值函数类，那么插值函数数列是否**收敛**于被插函数 $f(x)$ 。需要说明的是， x_0, x_1, \dots, x_n 的大小不必按序排列。

● **插值函数的存在唯一性**

插值函数类 Φ 为一个函数空间，若插值结点数为 $n+1$ ，实际上给出了 $n+1$ 个限制条件，为了保证插值函数的存在唯一性，给出的插值函数空间应是 $n+1$ 维的，即 $\dim \Phi = n+1$ 。

任取 Φ 上 $n+1$ 个线性无关函数 $\varphi_0(x), \varphi_1(x), \dots, \varphi_n(x)$ ，它们可作为 Φ 的一组基（函数）， Φ 视为由 $\varphi_0(x), \varphi_1(x), \dots, \varphi_n(x)$ 张成的空间，简记为

$$\Phi = \text{span}\{\varphi_0(x), \varphi_1(x), \dots, \varphi_n(x)\}$$

于是，任取 $\varphi(x) \in \Phi$ ，则 $\varphi(x)$ 可唯一地表为

$$\varphi(x) = a_0\varphi_0(x) + a_1\varphi_1(x) + \dots + a_n\varphi_n(x)$$

这里， (a_0, a_1, \dots, a_n) 称之为 $\varphi(x)$ 在基 $\{\varphi_i(x)\}_{i=0}^n$ 下的坐标。

关于插值的存在唯一性，有如下定理：

(*) 定理 $\{x_i\}_{i=0}^n$ 为 $[a, b]$ 上 $n+1$ 个互异点，
 $\Phi = span\{\varphi_0(x), \varphi_1(x), \cdots, \varphi_n(x)\}$ 为 $n+1$ 维函数空间，则定义在 $[a, b]$ 上的函数 $f(x)$ 关于结点 $\{x_i\}_{i=0}^n$ 在 Φ 上的插值函数存在且唯一的充要条件为行列式

$$\begin{vmatrix} \varphi_0(x_0) & \varphi_1(x_0) & \cdots & \varphi_n(x_0) \\ \varphi_0(x_1) & \varphi_1(x_1) & \cdots & \varphi_n(x_1) \\ \vdots & \vdots & \ddots & \vdots \\ \varphi_0(x_{n-1}) & \varphi_1(x_{n-1}) & \cdots & \varphi_n(x_{n-1}) \\ \varphi_0(x_n) & \varphi_1(x_n) & \cdots & \varphi_n(x_n) \end{vmatrix} \neq 0$$

证明 若有

$$\varphi(x) = a_0 \varphi_0(x) + a_1 \varphi_1(x) + \cdots + a_n \varphi_n(x) \in \Phi$$

满足

$$\varphi(x_i) = f(x_i), i = 0, 1, 2, \dots, n$$

则 a_0, a_1, \dots, a_n 应满足

$$a_0\varphi_0(x_i)+a_1\varphi_1(x_i)+\cdots+a_n\varphi_n(x_i)=f(x_i), i=0,1,\cdots,n$$

上式实际上是关于 a_0, a_1, \cdots, a_n 的一个 $n+1$ 阶线性方程组, 由克
莱姆定理, 线性方程组的解存在且唯一的充要条件是其系数行列
式不为 0, 即

$$\begin{vmatrix} \varphi_0(x_0) & \varphi_1(x_0) & \cdots & \varphi_n(x_0) \\ \varphi_0(x_1) & \varphi_1(x_1) & \cdots & \varphi_n(x_1) \\ \vdots & \vdots & \ddots & \vdots \\ \varphi_0(x_{n-1}) & \varphi_1(x_{n-1}) & \cdots & \varphi_n(x_{n-1}) \\ \varphi_0(x_n) & \varphi_1(x_n) & \cdots & \varphi_n(x_n) \end{vmatrix} \neq 0$$

例 x_0, x_1 为相异两点, $\Phi = \text{span}\{1, x\}$, 求 $f(x)$ 关于结点 x_0, x_1 在 Φ 上的插值函数。

解 若 $P(x) = a_0 + a_1x$ 为满足插值条件的插值函数, 则 a_0, a_1 满足的线性方程组系数行列式:

$$\begin{vmatrix} \varphi_0(x_0) & \varphi_1(x_0) \\ \varphi_0(x_1) & \varphi_1(x_1) \end{vmatrix} = \begin{vmatrix} 1 & x_0 \\ 1 & x_1 \end{vmatrix} = x_1 - x_0 \neq 0$$

由上述定理知, 插值函数存在且唯一, 且

$$a_0 = \begin{vmatrix} f(x_0) & x_0 \\ f(x_1) & x_1 \end{vmatrix} / \begin{vmatrix} 1 & x_0 \\ 1 & x_1 \end{vmatrix} = \frac{x_1 f(x_0) - x_0 f(x_1)}{x_1 - x_0}$$

$$a_1 = \begin{vmatrix} 1 & f(x_0) \\ 1 & f(x_1) \end{vmatrix} / \begin{vmatrix} 1 & x_0 \\ 1 & x_1 \end{vmatrix} = \frac{f(x_1) - f(x_0)}{x_1 - x_0}$$

因此, $f(x)$ 关于结点 x_0, x_1 在 Φ 上的插值函数为:

$$P(x) = \frac{x_1 f(x_0) - x_0 f(x_1)}{x_1 - x_0} + \frac{f(x_1) - f(x_0)}{x_1 - x_0} x$$

事实上, $P(x)$ 是过平面上点 $(x_0, f(x_0)), (x_1, f(x_1))$ 的直线。

例 求 $f(x)$ 关于结点 x_0, x_1 在 $\Phi = \text{span}\{1, x^2\}$ 的插值函数。

解 $1, x^2$ 为 Φ 上的一组基, 由定理 2.1, 插值存在且唯一的充要条件为

$$\begin{vmatrix} 1 & x_0^2 \\ 1 & x_1^2 \end{vmatrix} = x_1^2 - x_0^2 = (x_1 + x_0)(x_1 - x_0) \neq 0$$

由于 x_0, x_1 相异。因此, 插值函数存在且唯一的充要条件

为 $x_1 \neq -x_0$ 。

(1) 当 $x_1 = -x_0$ 时，或插值函数不存在，或插值函数有无穷多个，这决定于 $f(x_0)$ 与 $f(x_1)$ 是否有相同的数值。

(2) 当 $x_1 \neq -x_0$ 时，插值函数存在且唯一，且有

$$\begin{aligned} P(x) &= a_0 + a_1 x^2 \\ &= \begin{vmatrix} f(x_0) & x_0^2 \\ f(x_1) & x_1^2 \end{vmatrix} \begin{vmatrix} 1 & x_0^2 \\ 1 & x_1^2 \end{vmatrix} + \begin{vmatrix} 1 & f(x_0) \\ 1 & f(x_1) \end{vmatrix} \begin{vmatrix} 1 & x_0^2 \\ 1 & x_1^2 \end{vmatrix} \cdot x^2 \\ &= \frac{x_1^2 f(x_0) - x_0^2 f(x_1)}{x_1^2 - x_0^2} + \frac{f(x_1) - f(x_0)}{x_1^2 - x_0^2} x^2. \end{aligned}$$

1.2 插值多项式的存在唯一性

构造插值函数，自然要求插值函数类中的函数有尽可能“好”的性质，如易于求导、求积等，**多项式**具有无穷光滑的性质，且它也易于求积及其他数值运算。若记

$$P_n = \{a_0 + a_1 x + \cdots + a_n x^n \mid a_i \in R\}$$

则 P_n 为一个 $n+1$ 维的线性空间（ n 次多项式空间）。因此，具有 $n+1$ 个插值结点的插值空间，就当首推 P_n 。

● **问题表述：**若 $\{x_i\}_{i=0}^n$ 为 $[a, b]$ 上互异点， $f(x)$ 为定义在 $[a, b]$ 上的函数，若有

$$P_n(x) \in P_n$$

满足

$$P_n(x_i) = f(x_i), \quad i = 0, 1, \cdots, n \quad (4.4)$$

则称 $P_n(x)$ 为 $f(x)$ 关于结点 $\{x_i\}_{i=0}^n$ 的 n 次插值多项式, 其几何意义见教材图 4-1 (p. 75)。

定理 1 $f(x)$ 关于 $n+1$ 个互异结点 $\{x_i\}_{i=0}^n$ 的 n 次插值多项式存在且唯一。

证明 取 P_n 上一组基 $1, x, x^2, \dots, x^n$, 设插值多项式为

$$P_n(x) = a_0 + a_1x + \dots + a_nx^n \quad (4.3)$$

则 a_0, a_1, \dots, a_n 应满足

$$a_0 + a_1x_i + \dots + a_nx_i^n = f(x_i), i = 0, 1, \dots, n \quad (4.5)$$

而

$$D = \begin{vmatrix} 1 & x_0 & x_0^2 & \cdots & x_0^n \\ 1 & x_1 & x_1^2 & \cdots & x_1^n \\ \vdots & \vdots & \vdots & & \vdots \\ 1 & x_n & x_n^2 & \cdots & x_n^n \end{vmatrix} = \prod_{n \geq i > j \geq 0} (x_i - x_j)$$

由于 $\{x_i\}_{i=0}^n$ 互不相同, 因此 $D \neq 0$, 由克莱姆法则得 a_0, a_1, \dots, a_n 存在唯一, 即 P_n 上存在且唯一的有 $P_n(x)$, 满足

$$P_n(x_i) = f(x_i), i = 0, 1, \dots, n$$

所以, $f(x)$ 关于 $\{x_i\}_{i=0}^n$ 的 n 次插值多项式存在且唯一。

由**克莱姆定理**, n 次插值多项式 $P(x)$ 可表示为

$$P_n(x) = a_0 + a_1x + \dots + a_nx^n$$

其中 $a_i = \frac{D_i}{D}$, $i = 0, 1, 2, \dots, n$

$$D_i = \begin{vmatrix} 1 & x_0 & \cdots & x_0^{i-1} & f(x_0) & x_0^{i+1} & \cdots & x_0^n \\ 1 & x_1 & \cdots & x_1^{i-1} & f(x_1) & x_1^{i+1} & \cdots & x_1^n \\ & & & \cdots & \cdots & \cdots & & \cdots \\ 1 & x_n & \cdots & x_n^{i-1} & f(x_n) & x_n^{i+1} & \cdots & x_n^n \end{vmatrix}$$

从代数角度考虑, $f(x)$ 关于 $\{x_i\}_{i=0}^n$ 的 n 次多项式已经求得, 然而, 这里需要计算 $n+2$ 个 $n+1$ 阶行列式 D , D_0, D_1, \cdots, D_n , 因此, 从计算方法的角度讲, 问题还没有解决。

1.3 插值余项

多项式插值作为函数的逼近, 它与被插函数的误差:

$R_n(x) = f(x) - P_n(x)$ 称为**插值余项** (或称**误差**), 有

定理 2 若 $f \in C^{n+1}[a, b]$, 互异点 $\{x_i\}_{i=0}^n \subset [a, b]$, 则 $f(x)$ 以 $\{x_i\}_{i=0}^n$ 为插值结点的 n 次插值多项式余项:

$$R_n(x) = \frac{f^{(n+1)}(\xi)}{(n+1)!} (x-x_0)(x-x_1)\cdots(x-x_n) \quad (4.6)$$

其中: $\min\{x_0, x_1, \cdots, x_n, x\} \leq \xi = \xi(x) \leq \max\{x_0, x_1, \cdots, x_n, x\}$ 。

证明 若 x 与某个结点相同, 则 (4.6) 式显然成立, 下设 x 不是结点。由 $P_n(x_i) = f(x_i)$ ($i = 0, 1, \cdots, n$), 得 x_0, x_1, \cdots, x_n 为余项函数 $R_n(x)$ 的零点。于是, $R_n(x)$ 可写成形成:

$$R_n(x) = K(x)(x-x_0)(x-x_1)\cdots(x-x_n) \quad (4.7)$$

作变量为 t 的**辅助函数**:

$$F(t) = f(t) - P_n(t) - K(x)(t-x_0)(t-x_1)\cdots(t-x_n)$$

则有

$$F(x_i) = 0, i = 0, 1, \dots, n$$

$$F(x) = f(x) - P_n(x) - K(x)(x - x_0)(x - x_1) \cdots (x - x_n) = 0$$

即 $F(t)$ 至少有 $n+2$ 个零点 x, x_0, x_1, \dots, x_n ，由于 $f \in C^{n+1}[a, b]$ ，由罗尔定理， $F'(t)$ 至少有 $n+1$ 个零点，反复应用罗尔定理，得 $F^{(n+1)}(t)$ 至少有一个零点 ξ ，于是

$$0 = F^{(n+1)}(\xi) = f^{(n+1)}(\xi) - K(x)(n+1)! \quad (4.8)$$

$$\text{因而有: } K(x) = \frac{f^{(n+1)}(\xi)}{(n+1)!}, \text{ 得}$$

$$R_n(x) = \frac{f^{(n+1)}(\xi)}{(n+1)!} (x - x_0)(x - x_1) \cdots (x - x_n)$$

其中: $\min\{x_0, x_1, \dots, x_n, x\} \leq \xi = \xi(x) \leq \max\{x_0, x_1, \dots, x_n, x\}$ 。

若 $|f^{(n+1)}(x)|$ 在 $[a, b]$ 上有上界 M_{n+1} ，则有

推论 若 $f(x) \in C^{n+1}[a, b]$ ，且 $|f^{(n+1)}(x)| \leq M_{n+1} (a \leq x \leq b)$

则 $[a, b]$ 上 $f(x)$ 以 $\{x_i\}_{i=0}^n$ 为结点的 n 次插值多项式余项

$$|R_n(x)| \leq \frac{M_{n+1}}{(n+1)!} |\omega_{n+1}(x)|$$

其中: $\omega_{n+1}(x) = \prod_{i=0}^n (x - x_i)$

注: 若插值点 x 位于插值区间 $[\min_{1 \leq i \leq n} x_i, \max_{1 \leq i \leq n} x_i]$ 内，则该插值过程称为**内插**，否则称为**外插**。一般情况下，内插效果要比外插好一点，所以，插值结点尽可能选取在插值区间内。

例 设 $f(x) \in C^2[a, b]$ ， $f(a) = f(b) = 0$ ，求证

$$\max_{a \leq x \leq b} |f(x)| \leq \frac{(b-a)^2}{8} \max_{a \leq x \leq b} |f''(x)|$$

证明 满足条件 $P_1(a) = P_1(b) = 0$ 的线性插值多项式 $P_1(x) = 0$ ，由定理 2 知，存在 $\xi \in (a, b)$ ，使得

$$f(x) - P_1(x) = \frac{f''(\xi)}{2}(x-a)(x-b)$$

而 $\max_{a \leq x \leq b} |(x-a)(x-b)| \leq \frac{(b-a)^2}{4}$

可知结论成立。

§ 2 插值多项式的求法

由克莱姆法则求插值多项式，由于工作量太大，从计算的角度讲是不可行的，目前主要有两种方法构造插值多项式，分别是拉格朗日型插值多项式和牛顿型插值多项式。

2.1 拉格朗日 (Lagrange) 型插值多项式

对于给定的 $n+1$ 个互异结点 $\{x_i\}_{i=0}^n$ ，如果能找到 P_n 上 $n+1$ 个多项式 $\{l_i(x)\}_{i=0}^n$ ，满足

$$l_i(x_j) = \delta_{ij} = \begin{cases} 1, & i = j \\ 0, & i \neq j \end{cases} \quad i, j = 0, 1, \dots, n \quad (4.9)$$

那么

$$L_n(x) = \sum_{i=0}^n l_i(x) f(x_i) \quad (4.11)$$

就是 $f(x)$ 关于结点 $\{x_i\}_{i=0}^n$ 的 n 次插值多项式。

其中， $\{l_i(x)\}_{i=0}^n \subset P_n$ ，有 $\sum_{i=0}^n l_i(x) f(x_i) \in P_n$ ，且有

$$L_n(x_k) = \sum_{i=0}^n l_i(x_k) f(x_i) = f(x_k), \quad k = 0, 1, \dots, n$$

对于确定的 i , $l_i(x)$ 实际上是 P_n 上满足 $n+1$ 个插值条件 $l_i(x_i) = 1, l_i(x_j) = 0, j = 0, 1, \dots, i-1, i+1, \dots, n$

的插值多项式, 由定理 1, $l_i(x)$ 存在且唯一。

● n 次多项式 $l_i(x)$ 的构造:

由 $l_i(x_j) = 0$ ($j \neq i$) 及 $l_i(x) \in P_n$, 得

$$l_i(x) = \prod_{j=0, j \neq i}^n \frac{x-x_j}{x_i-x_j} = \frac{(x-x_0) \cdots (x-x_{i-1})(x-x_{i+1}) \cdots (x-x_n)}{(x_i-x_0) \cdots (x_i-x_{i-1})(x_i-x_{i+1}) \cdots (x_i-x_n)} \quad (4.12)$$

$\{l_i(x)\}_{i=0}^n$ 是一组线性无关的函数, 它可作为 P_n 的一组基, 称这组基为关于结点 $\{x_i\}_{i=0}^n$ 的 **Lagrange 基**, 其插值多项式称为 **Lagrange 型插值多项式**, 记为 $L_n(x, f)$ 或 $L_n(x)$, 即

$$L_n(x) = \sum_{i=0}^n l_i(x) f(x_i) = \sum_{i=0}^n \left(\prod_{j=0, j \neq i}^n \frac{x-x_j}{x_i-x_j} \right) f(x_i) \quad (4.13)$$

- **注:** 由插值多项式的唯一性, (4.3) 与 (4.13) 其实是同一个多项式, 只不过因 P_n 上取基不同, 其插值多项式的表达形式不同而已。插值多项式的 Lagrange 型式 (4.13) 比插值型式 (4.3) 具有许多优越性。插值函数的 Lagrange 型式简单而优雅, 插值多项式的诸多理论结果也是通过其 Lagrange 型式得到的。

记 $\omega_{n+1}(x) = (x-x_0)(x-x_1) \cdots (x-x_n)$

由 $\omega'_{n+1}(x_i) = \prod_{j=0, j \neq i}^n (x_i - x_j)$

得, $l_i(x)$ 可表示为

$$l_i(x) = \frac{\omega_{n+1}(x)}{(x-x_i)\omega'_{n+1}(x_i)}$$

- **Lagrange 型插值多项式 (4.13) 可以表示成：**

$$L_n(x) = \sum_{i=0}^n \frac{\omega_{n+1}(x)}{(x-x_i)\omega'_{n+1}(x_i)} f(x_i)$$

- 当 $n = 1$ 时，即可得 $f(x)$ 关于 x_0, x_1 的线性插值多项式的 **Lagrange 型式：**

$$\begin{aligned} L_1(x) &= l_0(x)f(x_0) + l_1(x)f(x_1) \\ &= \frac{x-x_1}{x_0-x_1}f(x_0) + \frac{x-x_0}{x_1-x_0}f(x_1) \end{aligned} \quad (4.15)$$

其 **Lagrange 基函数：**

$$l_0(x) = \frac{x-x_1}{x_0-x_1}, \quad l_1(x) = \frac{x-x_0}{x_1-x_0}$$

例 已知 $\sqrt{2} = 1.41421356, \sqrt{3} = 1.73205081$ ，试用线性插值求 $\sqrt{2.5}$ 的值。

解 $x_0 = 2, f(x_0) = 1.41421356, x_1 = 3, f(x_1) = 1.73205081$ ，

$x = 2.5$ 代入线性插值多项式 $L_1(x)$ ：

$$\begin{aligned} \sqrt{2.5} &\approx L_1(2.5) = l_0(x)f(x_0) + l_1(x)f(x_1) \\ &= \frac{x-x_1}{x_0-x_1}f(x_0) + \frac{x-x_0}{x_1-x_0}f(x_1) \\ &= \frac{2.5-3}{2-3} * 1.41421356 + \frac{2.5-2}{3-2} * 1.73205081 \\ &= 1.573132185 \end{aligned}$$

$\sqrt{2.5} = 1.58113883$ ，有 2 位有效数字。

- 当 $n = 2$ 时，关于结点 x_0, x_1, x_2 的二次插值多项式：

$$\begin{aligned}
L_2(x) &= l_0(x)f(x_0) + l_1(x)f(x_1) + l_2(x)f(x_2) \\
&= \frac{(x-x_1)(x-x_2)}{(x_0-x_1)(x_0-x_2)}f(x_0) + \frac{(x-x_0)(x-x_2)}{(x_1-x_0)(x_1-x_2)}f(x_1) \\
&\quad + \frac{(x-x_0)(x-x_1)}{(x_2-x_0)(x_2-x_1)}f(x_2)
\end{aligned}$$

(4.16)

其 Lagrange 基函数：

$$\begin{aligned}
l_0(x) &= \frac{(x-x_1)(x-x_2)}{(x_0-x_1)(x_0-x_2)} \\
l_1(x) &= \frac{(x-x_0)(x-x_2)}{(x_1-x_0)(x_1-x_2)} \\
l_2(x) &= \frac{(x-x_0)(x-x_1)}{(x_2-x_0)(x_2-x_1)}
\end{aligned}$$

几何意义： $y = L_2(x)$ 为平面上通过点 $(x_0, f(x_0)), (x_1, f(x_1)), (x_2, f(x_2))$ 的二次函数，故三点插值又称抛物插值。

例 已知 $\sqrt{1}=1, \sqrt{2}=1.41421356, \sqrt{3}=1.73205081$ ，试用二次插值求 $\sqrt{2.5}$ 的值及误差估计。

解 取 $\begin{cases} x_0=1 \\ y_0=1 \end{cases}, \begin{cases} x_1=2 \\ y_1=1.41421356 \end{cases}, \begin{cases} x_2=3 \\ y_2=1.73205081 \end{cases}$

把 $x=2.5$ 代入 $L_2(x)$ ，得

$$\begin{aligned}
L_2(x) &= \frac{(2.5-2)(2.5-3)}{(1-2)(1-3)} \times 1 + \frac{(2.5-1)(2.5-3)}{(2-1)(2-3)} \times 1.41421356 \\
&\quad + \frac{(2.5-1)(2.5-2)}{(3-1)(3-2)} \times 1.73205081 = 1.58517922
\end{aligned}$$

$$\text{由 } R_2(x) = \frac{f'''(\xi)(x-x_0)(x-x_1)(x-x_2)}{3!}, f'''(x) = \frac{3}{8}x^{-5/2}, \text{ 得}$$

$$|R_2(2.5)| \leq \frac{3}{8} \cdot \frac{|(2.5-1)(2.5-2)(2.5-3)|}{3!} = 0.0234375$$

$\sqrt{2.5}$ 的精确值为 1.58113883, 有 3 位有效数字。

例 1 (见教材 p.78) .

● (*) 误差的事后估计方法

定理 2 给出了当被插函数充分光滑时的插值误差表达式, 推论给出了误差的界。但在实际计算中, 涉及到高价导数, 很难给出较精确的估计, 所以常用误差的事后估计。

记 $L_n(x)$ 为 $f(x)$ 以 x_0, x_1, \dots, x_n 为结点的插值多项式, 对确定的 x , 我们需要对误差 $f(x) - L_n(x)$ 做出估计。为此, 另取一个结点 x_{n+1} , 记 $L_n^{(1)}(x)$ 为 $f(x)$ 以 $x_1, x_2, \dots, x_n, x_{n+1}$ 为结点的插值多项式, 由定理 2, 可得到

$$f(x) - L_n(x) = \frac{f^{(n+1)}(\xi)}{(n+1)!} (x-x_0)(x-x_1)\cdots(x-x_n)$$

$$f(x) - L_n^{(1)}(x) = \frac{f^{(n+1)}(\xi_2)}{(n+1)!} (x-x_1)(x-x_2)\cdots(x-x_n)(x-x_{n+1})$$

若 $f^{(n+1)}(x)$ 在插值区间上变化不太大时, 则

$$\frac{f(x) - L_n(x)}{f(x) - L_n^{(1)}(x)} \approx \frac{x - x_0}{x - x_{n+1}}$$

从而可得到:

$$f(x) \approx \frac{x - x_{n+1}}{x_0 - x_{n+1}} L_n(x) + \frac{x - x_0}{x_{n+1} - x_0} L_n^{(1)}(x)$$

$$\text{即: } f(x) - L_n(x) \approx \frac{x - x_0}{x_0 - x_{n+1}} (L_n(x) - L_n^{(1)}(x))$$

上式较好地给出了插值误差的实际估计。

例 用插值逼近方法求 $\sqrt{7}$ 的近似值。

解 作函数 $f(x) = \sqrt{x}$, $\sqrt{7}$ 为 $f(x)$ 在 $x = 7$ 时的值, 取 $x_0 = 4, x_1 = 9, x_2 = 6.25$.

用 $f(x)$ 关于 x_0, x_1, x_2 的二次插值函数在 $x = 7$ 的取值作为 $f(7) = \sqrt{7}$ 的近似:

$$L_2(x) = \frac{(x-9)(x-6.25)}{(4-9)(4-6.25)} \times 2 + \frac{(x-4)(x-6.25)}{(9-4)(9-6.25)} \times 3 + \frac{(x-4)(x-9)}{(6.25-4)(6.25-9)} \times 2.5$$

以 $x = 7$ 代入上式, 得到 $L_2(7) \approx 2.64849$

在区间 $[4, 9]$ 上, $|f^{(3)}(x)|$ 的界 $M_3 = 0.011719$, 由推论, 可得到比较保守的误差估计:

$$|R_2(7)| \leq \frac{M_3}{3!} |(7-4)(7-9)(7-6.25)| \approx 0.00879$$

若采用事后估计方法, 另取结点 $x_3 = 4.84$, $f(x)$ 以 x_1, x_2, x_3 为结点的插值多项式:

$$L_2^{(1)}(x) = \frac{(x-9)(x-6.25)}{(4.84-9)(4.84-6.25)} \times 2.2 + \frac{(x-4.84)(x-6.25)}{(9-4.84)(9-6.25)} \times 3 + \frac{(x-4.84)(x-9)}{(6.25-4.84)(6.25-9)} \times 2.5$$

以 $x = 7$ 代入上式, 得到

$$L_2^{(1)}(7) \approx 2.64752$$

按事后误差估计公式 (2.16), 可得到

$$f(7) - L_2(7) \approx \frac{7-4}{4-4.84} (2.64849 - 2.64752) = -0.00346$$

它与实际误差：

$$\sqrt{7} - L_2(7) = -0.00274$$

相差无几。

2.2 差商与牛顿基本插值多项式

对于给定的 $n+1$ 个结点 x_0, x_1, \dots, x_n ，考虑 n 次多项式：

$$\begin{aligned} N_n(x) = & a_0 + a_1(x - x_0) + a_2(x - x_0)(x - x_1) + \dots \\ & + a_n(x - x_0)(x - x_1) \cdots (x - x_{n-1}) \end{aligned} \quad (4.17)$$

满足插值条件： $N_n(x_i) = f(x_i) = y_i \quad i = 0, 1, \dots, n$

称 $N_n(x)$ 是以 x_0, x_1, \dots, x_n 为结点的 n 次牛顿型插值多项式。

系数 a_i 可以通过插值条件确定，为了更简便地给出 a_i 的表达式，引入差商概念如下：

定义 1 设函数 $f(x)$ 在点 x_0, x_1, x_2, \dots 上的值依次为 $f(x_0), f(x_1), f(x_2), \dots$ 。则称

$$f[x_i, x_j] = \frac{f(x_j) - f(x_i)}{x_j - x_i}$$

为 $f(x)$ 在 x_i, x_j 处的一阶差商。

称 $f[x_i, x_j, x_k] = \frac{f[x_j, x_k] - f[x_i, x_j]}{x_k - x_i}$ 为 $f(x)$ 在 x_i, x_j, x_k 处的

二阶差商。一般地，称 $m-1$ 阶差商的差商：

$$f[x_{i0}, x_{i1}, \dots, x_{im}] = \frac{f[x_{i1}, \dots, x_{im}] - f[x_{i0}, \dots, x_{im-1}]}{x_{im} - x_{i0}}$$

为 $f(x)$ 在 $x_{i0}, x_{i1}, \dots, x_{im}$ 处的 m 阶差商。

特别地，规定零阶差商为： $f[x_i] = f(x_i)$ 。

● 计算相异点 $\{x_i\}_{i=0}^n$ 的各阶差商表：

表 4-1

x_i	$f(x_i)$	一阶差商	二阶差商	三阶差商	...	n 阶差商
x_0	$f(x_0)$	$f[x_0, x_1]$	$f[x_0, x_1, x_2]$	$f[x_0, x_1, x_2, x_3]$...	$f[x_0, x_1, \dots, x_n]$
x_1	$f(x_1)$	$f[x_1, x_2]$	$f[x_1, x_2, x_3]$	\vdots	...	
x_2	$f(x_2)$	$f[x_2, x_3]$	\vdots	$f[x_{n-3}, x_{n-2}, x_{n-1}, x_n]$		
x_3	$f(x_3)$	\vdots	$f[x_{n-2}, x_{n-1}, x_n]$			
\vdots	\vdots	$f[x_{n-1}, x_n]$				
x_n	$f(x_n)$					

通过归纳法， m 阶差商可表示成 $f(x_0), f(x_1), \dots, f(x_m)$ 的线性组合：

$$\begin{aligned}
 & f[x_0, x_1, \dots, x_m] \\
 &= \sum_{j=0}^m \frac{f(x_j)}{(x_j - x_0) \cdots (x_j - x_{j-1})(x_j - x_{j+1}) \cdots (x_j - x_m)}
 \end{aligned}
 \tag{4.18}$$

● 差商具有对称性：任意调换结点的次序，不影响差商的值。

● 差商与牛顿型插值多项式的关系：

由插值条件 $N_n(x_i) = f(x_i)$ ，可得：

$$N_n(x_0) = a_0 = f(x_0) \Rightarrow a_0 = f(x_0)$$

$$\begin{aligned}
 N_n(x_1) &= a_0 + a_1(x_1 - x_0) = f(x_1) \Rightarrow a_1 = \frac{f(x_1) - f(x_0)}{x_1 - x_0} \\
 &= f[x_0, x_1]
 \end{aligned}$$

$$N_n(x_2) = a_0 + a_1(x_2 - x_0) + a_2(x_2 - x_0)(x_2 - x_1) = f(x_2)$$

$$\Rightarrow a_2 = \frac{f[x_0, x_2] - f[x_0, x_1]}{x_2 - x_0} = f[x_0, x_1, x_2]$$

由归纳法, 可得:

$$a_k = f[x_0, x_1, \dots, x_k] \quad (k = 0, 1, \dots, n)$$

- 以 x_0, x_1, \dots, x_n 为结点的 n 次牛顿型插值多项式:

$$\begin{aligned} N_n(x) &= f(x_0) + f[x_0, x_1](x - x_0) \\ &\quad + f[x_0, x_1, x_2](x - x_0)(x - x_1) + \dots \\ &\quad + f[x_0, x_1, \dots, x_n](x - x_0)(x - x_1) \cdots (x - x_{n-1}) \end{aligned} \quad (4.19)$$

- **注:** $N_n(x) \equiv L_n(x)$, 只是形式不同或选取的基函数不同, 其插值余项也仍为 $R_n(x)$ 。
- **Lagrange 插值型式**的缺点在于没有承袭性质, 当需要增加插值结点时, 不得不重新计算基函数; **Newton 插值型式**具有承袭性质, 即

若已得到了 $f(x)$ 关于 $\{x_i\}_{i=0}^n$ 的 n 次插值多项式的 Newton 型式 $N_n(x)$, 当新增加一个结点 x_{n+1} 时, 只需再计算一排商差值:

$$f(x_{n+1}), f[x_n, x_{n+1}], \dots, f[x_0, x_1, \dots, x_n, x_{n+1}]$$

那么, $f(x)$ 关于结点 $\{x_i\}_{i=0}^{n+1}$ 的 $n+1$ 次插值多项式 $N_{n+1}(x)$ 只是在 $N_n(x)$ 的基础上加上最后一项:

$$N_{n+1}(x) = N_n(x) + f[x_0, x_1, \dots, x_n, x_{n+1}](x - x_0)(x - x_1) \cdots (x - x_n)$$

例 $f(x) = x^4 + 1, x_0 = -2, x_1 = 0, x_2 = 1, x_3 = 2.$

按差商定义，可得到如下差商表：

x_i	$f(x_i)$	一阶差商	二阶差商	三阶差商
$x_0 = -2$	17	-8	3	1
$x_1 = 0$	1	1	7	
$x_2 = 1$	2	15		
$x_3 = 2$	17			

因而， $f(x)$ 关于 x_0, x_1, x_2, x_3 的插值 Newton 型式为：

$$N_3(x) = 17 - 8(x + 2) + 3(x + 2)x + (x + 2)x(x - 1)$$

$$R_3(x) = \frac{f^{(4)}(\xi)(x - x_0)(x - x_1)(x - x_2)(x - x_3)}{4!}$$

$$= (x + 2)x(x - 1)(x - 2)。$$

注： $f(x)$ 关于 x_0, x_1, x_2 的插值 Newton 型式为：

$$N_2(x) = 17 - 8(x + 2) + 3(x + 2)x。$$

例 2 见教材 p.83。

● 插值多项式的误差(差商形式)表示：

对任意的 x ，若 $x \neq x_i$ ， $i = 0, 1, \dots, n$ ，则

$$\begin{aligned} f(x) &\equiv f(x_0) + f[x_0, x_1](x - x_0) + f[x_0, x_1, x_2](x - x_0)(x - x_1) \\ &\quad + \dots + f[x_0, x_1, \dots, x_n](x - x_0)(x - x_1) \dots (x - x_{n-1}) \\ &\quad + f[x_0, x_1, \dots, x_n, x](x - x_0)(x - x_1) \dots (x - x_n) \\ &= N_n(x) \\ &\quad + f[x_0, x_1, \dots, x_n, x](x - x_0)(x - x_1) \dots (x - x_n) \end{aligned}$$

由此得到, 若 $f(x) \in C^{n+1}[a, b]$, 则有:

$$R_n(x) = f[x_0, x_1, \dots, x_n, x](x - x_0)(x - x_1) \cdots (x - x_n) \quad (4.20)$$

$$f[x_0, x_1, \dots, x_n, x] = \frac{f^{(n+1)}(\xi)}{(n+1)!}$$

一般地, 若 $f(x) \in C^n[a, b]$, 则存在 $\xi \in (a, b)$, 使得

$$f[x_0, x_1, \dots, x_n] = \frac{f^{(n)}(\xi)}{n!} \quad (4.21)$$

2.3 差分与等距结点下的牛顿公式

设函数 $y = f(x)$ 在等距结点

$$x_k = x_0 + kh \quad (k = 0, 1, 2, \dots) \quad (4.22)$$

上的值 $f(x_k)$ 已知, 步长 h 为常数。则 Newton 插值公式中的差商可以用差分代替, 其形式更加简捷。

定义2 函数 $y = f(x)$ 在 x_k 处以 h 为步长的一阶向前差分:

$$\Delta y_k \triangleq \Delta f(x_k) = f(x_{k+1}) - f(x_k) \quad (4.23)$$

$f(x)$ 在 x_k 处的二阶向前差分:

$$\begin{aligned} \Delta^2 y_k &\triangleq \Delta^2 f(x_k) = \Delta(\Delta f(x_k)) = \Delta f(x_{k+1}) - \Delta f(x_k) \\ &= f(x_{k+2}) - 2f(x_{k+1}) + f(x_k) \end{aligned}$$

一般性, m 阶向前差分:

$$\begin{aligned} \Delta^m y_k &\triangleq \Delta^m f(x_k) = \Delta(\Delta^{m-1} f(x_k)) \\ &= \Delta^{m-1} f(x_{k+1}) - \Delta^{m-1} f(x_k) \end{aligned} \quad (4.24)$$

定义3 函数 $y = f(x)$ 在 x_k 处以 h 为步长的一阶向后差分:

$$\nabla y_k \triangleq \nabla f(x_k) = f(x_k) - f(x_{k-1}) \quad (4.28)$$

$f(x)$ 在 x_k 处的**二阶向后差分**:

$$\begin{aligned}\nabla^2 y_k &\triangleq \nabla^2 f(x_k) = \nabla(\nabla f(x_k)) = \nabla f(x_k) - \nabla f(x_{k-1}) \\ &= f(x_k) - 2f(x_{k-1}) + f(x_{k-2})\end{aligned}$$

一般性, m 阶向后差分:

$$\begin{aligned}\nabla^m y_k &\triangleq \nabla^m f(x_k) = \nabla(\nabla^{m-1} f(x_k)) \\ &= \nabla^{m-1} f(x_k) - \nabla^{m-1} f(x_{k-1})\end{aligned}\quad (4.29)$$

- 类似于差商表,我们也可以构造差分表:

表 4-3

x_i	$f(x_i)$	$\Delta f(x_i)$	$\Delta^2 f(x_i)$	$\Delta^3 f(x_i)$	\dots	$\Delta^n f(x_i)$
x_0	$f(x_0)$	$\Delta f(x_0)$	$\Delta^2 f(x_0)$	$\Delta^3 f(x_0)$	\dots	$\Delta^n f(x_0)$
x_1	$f(x_1)$	$\Delta f(x_1)$	$\Delta^2 f(x_1)$	\vdots	\dots	
x_2	$f(x_2)$	$\Delta f(x_2)$	\vdots	$\Delta^3 f(x_{n-3})$		
x_3	$f(x_3)$	\vdots	$\Delta^2 f(x_{n-2})$			
\vdots	\vdots	$\Delta f(x_{n-1})$				
x_n	$f(x_n)$					

- 在等距结点下, 差商与差分关系:

$$f[x_0, x_1, \dots, x_m] = \frac{\Delta^m f(x_0)}{m!h^m} \quad (4.25)$$

$$f[x_n, x_{n-1}, \dots, x_{n-m}] = \frac{\nabla^m f(x_n)}{m!h^m} \quad (4.30)$$

- 等距结点的 Newton 型多项式插值的差分形式

引入变量 t , 设 $x = x_0 + th$ (有 $x - x_i = (t - i)h$), 则**等距结点的 Newton 插值公式**:

$$N_n(x_0 + th) = f(x_0) + t\Delta f(x_0) + \frac{t(t-1)}{2!}\Delta^2 f(x_0) + \dots + \frac{t(t-1)\dots(t-n+1)}{n!}\Delta^n f(x_0) \quad (4.26)$$

公式中仅用到差分表中的第一排各阶差分值。

若 $f(x) \in C^{n+1}[a, b]$, 则插值误差可表为

$$R_n(x) = R_n(x_0 + th) = \frac{t(t-1)\dots(t-n)}{(n+1)!} h^{n+1} f^{(n+1)}(\zeta) \\ \zeta \in (x_0, x_n) \quad (4.27)$$

- **等距插值常被用来加密函数表。** 给出的等距离散点的数目往往很大, 以 $x_0 < x_1 < x_2 < \dots < x_m$ 记这些等距点, 点距为 h , 函数表给出了函数在这些点的值。用插值方法加密函数表时往往只有 n ($n \ll m$) 阶的方法。对于具体的加密点, 插值结点只用到其中的 $n+1$ 个。对不同的加密点, $n+1$ 个点的选取也不同。

用牛顿插值公式计算 $f(x)$ 的近似值时, 总是先用 x 附近的信息较好, 由此, 有**牛顿表初、表末和表中公式**:

(1) 牛顿表初公式或牛顿向前差分公式

若 x 在 x_0 附近, 选取的牛顿型插值公式为(4.26):

$$N_n(x_0 + th) = f(x_0) + t\Delta f(x_0) + \frac{t(t-1)}{2!}\Delta^2 f(x_0) + \dots + \frac{t(t-1)\dots(t-n+1)}{n!}\Delta^n f(x_0)$$

式中的各阶差分就是差分表中的第一排值。

(2) 牛顿表末公式或牛顿向后差分公式

若 x 在 x_n 附近, 选取的牛顿型插值公式为:

$$N_n(x) = N_n(x_n + th) = f(x_n) + f[x_n, x_{n-1}](x - x_n)$$

$$\begin{aligned}
& +f[x_n, x_{n-1}, x_{n-2}](x-x_n)(x-x_{n-1})+\cdots \\
& +f[x_n, x_{n-1}, \cdots, x_0](x-x_n)(x-x_{n-1})\cdots(x-x_1) \\
& =f(x_n)+t\nabla f(x_n)+\frac{t(t+1)}{2!}\nabla^2 f(x_n) \\
& +\cdots+\frac{t(t+1)\cdots(t+n-1)}{n!}\nabla^n f(x_n)
\end{aligned} \tag{4.31}$$

其中： $x_k = x_n - (n-k)h$

$$\begin{aligned}
R_n(x) = R_n(x_n + th) &= \frac{t(t+1)\cdots(t+n)}{(n+1)!} h^{n+1} f^{(n+1)}(\zeta) \\
&\zeta \in (x_0, x_n)
\end{aligned} \tag{4.32}$$

(3) 牛顿表中插值公式^(*)

若 x 在表的中部附近，记表的中部靠近 x 的结点为 x_0 ，此时结点的选取为： $x_0, x_1, x_{-1}, x_2, x_{-2}, \cdots, x_n, x_{-n+1}$ ，可以得到相应的牛顿表中插值公式。

例 3 参见教材 p.87。

定义 4 $\delta y_k = f\left(x_k + \frac{h}{2}\right) - f\left(x_k - \frac{h}{2}\right) = y_{k+\frac{1}{2}} - y_{k-\frac{1}{2}}$ 称

为一阶中心差分。

$$\delta^m y_k = \delta^{m-1} y_{k+\frac{1}{2}} - \delta^{m-1} y_{k-\frac{1}{2}} \quad (m = 2, 3, \cdots)$$

称为 m 阶中心差分。

§ 4 埃尔米特 (Hermite) 插值

- **插值问题：**插值在给定的结点处，不但要求插值多项式的函数值与被插函数的函数值相同，同时还要求在结点处，插值多项式的一阶直至指定阶的导数值也与被插函数的

相应阶导数值相等。——埃尔米特（Hermite）插值。

设 $f(x)$ 为 $[a, b]$ 上充分光滑函数，对给定的插值结点

$\{x_i\}_{i=0}^n$ 及相应的重数标号 $\{m_i\}_{i=0}^n$ ，当 $\sum_{i=0}^n m_i = N+1$ 时，若有

$H(x) \in P_N$ 满足：

$$H^{(l)}(x_i) = f^{(l)}(x_i), \quad l = 0, 1, \dots, m_i - 1; \quad i = 0, 1, \dots, n$$

则称 $H(x)$ 为 $f(x)$ 关于结点 $\{x_i\}_{i=0}^n$ 及重数标号 $\{m_i\}_{i=0}^n$ 的埃尔米特插值多项式。

● 二重埃尔米特插值多项式

常用的埃尔米特插值为 $m_i = 2$ 的情况，即给定的插值结点 $\{x_i\}_{i=0}^n$ 均为二重结点。即， $f(x) \in C^2[a, b]$ ，及插值结点 $\{x_i\}_{i=0}^n$ ，若有 $H_{2n+1}(x) \in P_{2n+1}$ ，满足

$$H_{2n+1}(x_i) = f(x_i)$$

$$H'_{2n+1}(x_i) = f'(x_i), \quad i = 0, 1, \dots, n$$

称 $H_{2n+1}(x)$ 为 $f(x)$ 关于结点 $\{x_i\}_{i=0}^n$ 的二重埃尔米特插值多项式。

注：由克拉默法则容易得到：二重埃尔米特插值多项式存在且唯一。

● 二重埃尔米特插值多项式的构造：基函数构造法

$$H_{2n+1}(x) = \sum_{i=0}^n A_i(x) f(x_i) + \sum_{i=0}^n B_i(x) f'(x_i)$$

在 P_{2n+1} 上构造 $2n+2$ 个基函数 $\{A_i(x), B_i(x)\}_{i=0}^n$ ，它们分别满足

$$\begin{cases} A_i(x_j) = \delta_{ij} \\ A'_i(x_j) = 0 \end{cases} \quad j = 0, 1, \dots, n, \quad i = 0, 1, \dots, n$$

及
$$\begin{cases} B_i(x_j) = 0 \\ B'_i(x_j) = \delta_{ij} \end{cases} \quad j = 0, 1, \dots, n, \quad i = 0, 1, \dots, n$$

由 $x_0, x_1, \dots, x_{i-1}, x_{i+1}, \dots, x_n$ 为 $A_i(x)$ 的二重零点及 $A_i(x) \in P_{2n+1}$, 有

$$A_i(x) = (a_i x + b_i) [(x - x_0)^2 (x - x_1)^2 \cdots (x - x_{i-1})^2 (x - x_{i+1})^2 \cdots (x - x_n)^2]$$

(注: 可设 $A_i(x) = [a_i(x - x_i) + b_i] \prod_{j=0, j \neq i}^n (x - x_j)^2$, 使计算更简便)

又由 $A_i(x_i) = 1$ 及 $A'_i(x_i) = 0$, 可得到

$$A_i(x) = [1 - 2(x - x_i) \sum_{j=0, j \neq i}^n \frac{1}{x_i - x_j}] l_i^2(x)$$

其中, $l_i(x)$ 为关于点 $\{x_i\}_{i=0}^n$ 的 Lagrange 基函数。用类似的方法, 可得到

$$B_i(x) = (x - x_i) l_i^2(x)$$

$f(x)$ 关于结点 $\{x_i\}_{i=0}^n$ 的二重埃尔米特插值多项式为:

$$H_{2n+1}(x) = \sum_{i=0}^n A_i(x) f(x_i) + \sum_{i=0}^n B_i(x) f'(x_i)$$

注: 基函数构造法也适用于一般的埃尔米特多项式插值。

● 二重埃尔米特插值多项式的误差分析

若 $f \in C^{2n+2}[a, b]$, 则 $f(x)$ 关于 $[a, b]$ 上结点 $\{x_i\}_{i=0}^n$ 的二重埃尔米特插值多项式误差为

$$f(x) - H_{2n+1}(x) = \frac{f^{(2n+2)}(\xi)}{(2n+2)!} \omega_{n+1}^2(x)$$

这里, $\min\{x_0, x_1, \dots, x_n, x\} \leq \xi = \xi(x) \leq \max\{x_0, x_1, \dots, x_n, x\}$ 。

定理的证明方法与 **Lagrange** 插值误差定理类似。

● 具有两个结点 x_0, x_1 的二重埃尔米特插值

为一个三次多项式, 基函数分别为:

$$A_0(x) = \left[1 - 2 \frac{x - x_0}{x_0 - x_1} \right] \left(\frac{x - x_1}{x_0 - x_1} \right)^2$$

$$A_1(x) = \left[1 - 2 \frac{x - x_1}{x_1 - x_0} \right] \left(\frac{x - x_0}{x_1 - x_0} \right)^2$$

$$B_0(x) = (x - x_0) \left(\frac{x - x_1}{x_0 - x_1} \right)^2$$

$$B_1(x) = (x - x_1) \left(\frac{x - x_0}{x_1 - x_0} \right)^2$$

所以, $f(x)$ 关于结点 x_0, x_1 的二重埃尔米特插值多项式为:

$$H_3(x) = A_0(x)f(x_0) + A_1(x)f(x_1) + B_0(x)f'(x_0) + B_1(x)f'(x_1)$$

若 $f \in C^4[a, b]$, 则有误差表达式:

$$R_3(x) = f(x) - H_3(x) = \frac{f^{(4)}(\xi)}{4!} (x - x_0)^2 (x - x_1)^2$$

例 已知函数 $f(x)$ 在结点 x_0, x_1, x_2 上的函数值 y_0, y_1, y_2 和在 x_1 处的导数值 m_1 , 求一个次数不超过 3 次的多项式 $P(x)$, 使得

$$P(x_i) = y_i, \quad i = 0, 1, 2; \quad P'(x_1) = m_1$$

解 使用基函数构造法。设

$$P(x) = y_0\varphi_0(x) + y_1\varphi_1(x) + y_2\varphi_2(x) + m_1\psi(x)$$

其中 $\varphi_i(x)(i=0,1,2), \psi(x) \in P_3$, 满足

$$\varphi_0(x_0)=1, \quad \varphi_0(x_1)=\varphi_0(x_2)=\varphi_0'(x_1)=0$$

$$\varphi_1(x_1)=1, \quad \varphi_1(x_0)=\varphi_1(x_2)=\varphi_1'(x_1)=0$$

$$\varphi_2(x_2)=1, \quad \varphi_2(x_0)=\varphi_2(x_1)=\varphi_2'(x_1)=0$$

$$\psi'(x_1)=1, \quad \psi(x_0)=\psi(x_1)=\psi(x_2)=0$$

可以得到

$$\varphi_0(x) = \frac{(x-x_1)^2(x-x_2)}{(x_0-x_1)^2(x_0-x_2)}$$

$$\begin{aligned} \varphi_1(x) = (x-x_0)(x-x_2) & \left[\frac{(x_0+x_2-2x_1)}{(x_1-x_0)^2(x_1-x_2)^2} (x-x_1) \right. \\ & \left. + \frac{1}{(x_1-x_0)(x_1-x_2)} \right] \end{aligned}$$

$$\varphi_2(x) = \frac{(x-x_0)(x-x_1)^2}{(x_2-x_0)(x_2-x_1)^2}$$

$$\psi(x) = \frac{(x-x_0)(x-x_1)(x-x_2)}{(x_1-x_0)(x_1-x_2)}$$

余项为: $R(x) = \frac{f^{(4)}(\xi)}{4!} (x-x_0)(x-x_1)^2(x-x_2)$

另一种构造方法见教材 p.98~99 。

§ 3 分段低次插值

● 龙格 (Runge) 现象

对于多项式插值, 增加插值结点, 是否能使其插值误差更小些? 即当插值次数 $n \rightarrow \infty$ 时, 是否有

$$\|f - P_n\| = \max_{a \leq x \leq b} |f(x) - P_n(x)| \rightarrow 0 ?$$

其实不然, 1901 年 Runge 给出这样一个例子:

取 $[a, b] = [-1, 1]$, $f(x) = \frac{1}{1+25x^2}$, 对 $[-1, 1]$ 作等距分割, 得等距结点 x_0, \dots, x_n , $x_i = -1 + ih, i = 0, 1, \dots, n; h = \frac{2}{n}$.

作 $f(x)$ 关于等距离结点 $\{x_i\}_{i=0}^n$ 的 n 次插值多项式 $L_n(x)$ 。对 $n = 10$, 插值多项式 $L_{10}(x)$ 如图 4-5 所示。从图中看出, 点 x 在零附近, $L_{10}(x)$ 对 $f(x)$ 有很好的逼近效果; 而点 x 距零点越远, 逼近效果就越差, 以致完全失真。事实上, 当 $n \rightarrow \infty$ 时, $L_n(x)$ 不收敛于 $f(x)$, 这种现象被称为 **Runge 现象**。

Runge 现象表明: 为减少逼近误差, 盲目地提高插值阶是不可取的。

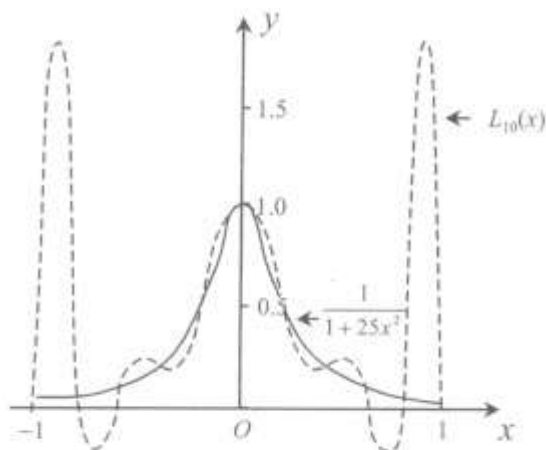


图 4-5

通过提高插值阶的方法来减小误差不可取, 一个解决办法: 缩小插值区间, 即分段低次插值。

3.1 分段线性插值与分段二次插值

对给定区间 $[a, b]$ 作分割:

$$a = x_0 < x_1 < x_2 < \cdots < x_n = b$$

在每个小区间 $[x_{i-1}, x_i]$ 上作 $f(x)$ 以 x_{i-1}, x_i 为结点的线性插值, 记这个插值函数为 $L_1(x)$, 则

$$f(x) \approx L_1(x) = f(x_{i-1}) \frac{x-x_i}{x_{i-1}-x_i} + f(x_i) \frac{x-x_{i-1}}{x_i-x_{i-1}} \quad (4.33)$$

—— 分段线性插值(或折线插值)

● 分段线性插值函数 $L_1(x)$ 有如下特点:

(1) $L_1(x) \in C[a, b]$;

(2) $L_1(x)$ 在 $[x_{i-1}, x_i]$ 上为一个不高于一次的多项式。

几何上看, $L_1(x)$ 是平面上以点 $(x_i, f(x_i))$ 为折点的折线 (参见教材 p. 89, 图 4-6)。

● 关于误差, 我们有:

若 $f(x) \in C^2[a, b]$, 则: $|f(x) - L_1(x)| \leq \frac{M_2}{8} h^2$

其中 $M_2 = \max_{a \leq x \leq b} |f''(x)|$, $h_i = x_i - x_{i-1}$, $h = \max_{1 \leq i \leq n} h_i$ 。

证明 当 $x \in [x_{i-1}, x_i]$ 时, 由线性插值误差公式可得:

$$f(x) - L_1(x) = \frac{f''(\xi)}{2!} (x - x_{i-1})(x - x_i)$$

因而

$$\begin{aligned} |f(x) - L_1(x)| &\leq \frac{M_2}{2} |(x - x_{i-1})(x - x_i)| \\ &\leq \frac{M_2}{2} \cdot \frac{1}{4} (x_i - x_{i-1})^2 = \frac{M_2}{8} h_i^2 \leq \frac{M_2}{8} h^2 \end{aligned}$$

由此可得，当区间分割加密，即： $\max_i(x_i - x_{i-1}) \rightarrow 0$ 时，分段线性插值 $L_1(x)$ 收敛于 $f(x)$ 。

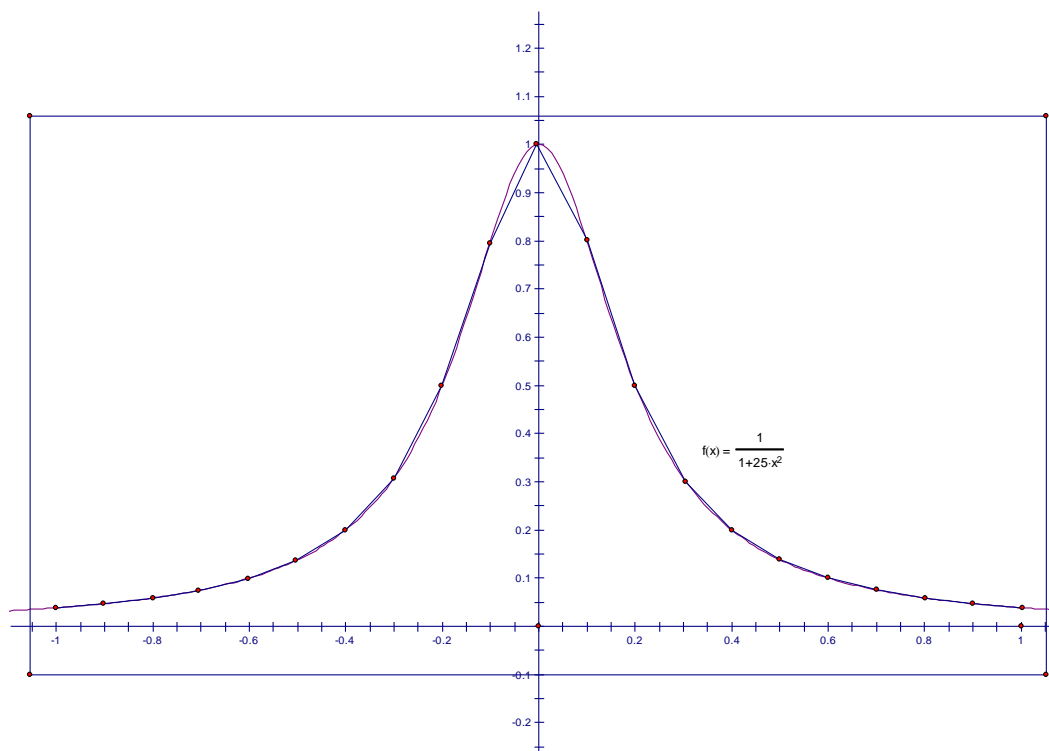
例 对于 Runge 函数 $f(x) = \frac{1}{1+25x^2}$ ，在 $[-1,1]$ 上作步长为 $h = \frac{2}{n}$ 的等距分割， $x_i = -1 + ih$ ， $i = 0, 1, \dots, n$ 。在这个分割上构造分段线性插值多项式 $L_1(x)$ ，问要使误差 $R(x) = f(x) - L_1(x)$ 的绝对值小于 10^{-5} ， h 应该取多大？ n 要多大？

解 由 $f(x) = \frac{1}{1+25x^2}$ ，得： $f''(x) = -50 \frac{1-75x^2}{(1+25x^2)^3}$

因此： $|f''(x)| \leq 50$ ， $\forall x \in [-1,1]$

于是，只要 h 满足： $|R(x)| \leq \frac{50}{8} h^2 < 10^{-5}$

即可。由此得： $h < 0.0013$ ， $n = \frac{2}{h} > 1538$



注：分段线性插值有很好的收敛性质，但却是不光滑的。

类似地，为求 $f(x)$ 的近似值，可选距点 x 最近的三个结点 x_{i-1}, x_i, x_{i+1} 进行二次插值，得到

● **分段二次插值（或分段抛物插值）：**

$$f(x) \approx L_2(x) = \sum_{k=i-1}^{i+1} [f(x_i) \prod_{j=i-1, j \neq k}^{i+1} (\frac{x-x_j}{x_k-x_j})] \quad (4.34)$$

● **(*) 分段三次 Hermite 插值**

对 $[a, b]$ 作分割 $a = x_0 < x_1 < x_2 < \cdots < x_n = b$ ，若在每个小区间 $[x_i, x_{i+1}]$ 上，作 $f(x)$ 关于点 x_i, x_{i+1} 的二重 Hermite 插值，记这个三次插值多项式为 $S_3(x)$ ，满足

$$S_3(x_i) = f(x_i), \quad S_3(x_{i+1}) = f(x_{i+1})$$

$$S'_3(x_i) = f'(x_i), \quad S'_3(x_{i+1}) = f'(x_{i+1})$$

则在 $[x_i, x_{i+1}]$ 上

$$\begin{aligned} S_3(x) = & (1 - 2 \frac{x - x_i}{x_i - x_{i+1}}) (\frac{x - x_{i+1}}{x_i - x_{i+1}})^2 f(x_i) \\ & + (1 - 2 \frac{x - x_{i+1}}{x_{i+1} - x_i}) (\frac{x - x_i}{x_{i+1} - x_i})^2 f(x_{i+1}) \\ & + (x - x_i) (\frac{x - x_{i+1}}{x_i - x_{i+1}})^2 f'(x_i) + (x - x_{i+1}) (\frac{x - x_i}{x_{i+1} - x_i})^2 f'(x_{i+1}) \end{aligned}$$

记 $h_{i+1} = x_{i+1} - x_i$ ，上式可表为

$$\begin{aligned} S_3(x) = & \frac{1}{h_{i+1}^3} [h_{i+1} + 2(x - x_i)] (x - x_{i+1})^2 f(x_i) \\ & + \frac{1}{h_{i+1}^3} [h_{i+1} + 2(x - x_{i+1})] (x - x_i)^2 f(x_{i+1}) \end{aligned}$$

$$\begin{aligned}
& + \frac{1}{h_{i+1}^2} (x - x_i)(x - x_{i+1})^2 f'(x_i) \\
& + \frac{1}{h_{i+1}^2} (x - x_{i+1})(x - x_i)^2 f'(x_{i+1})
\end{aligned}$$

把每个小区间上的三次插值函数连接在一起，就得到了 $[a, b]$ 上以 $a = x_0 < x_1 < \cdots < x_n = b$ 为结点的**分段三次 Hermite 插值**，记这个函数为 $S_3(x)$ ， $S_3(x)$ 有如下特点：

- (1) $S_3(x) \in C^1[a, b]$
- (2) $S_3(x)$ 在每个小区间 $[x_i, x_{i+1}]$ ($i = 0, 1, \cdots, n-1$) 上为一个不高于三次的多项式。

3.2 三次样条插值

分段低次插值有很好的收敛性质，而且在每个小区间上只是一个低次的多项式，但其光滑性不够理想，往往不能满足实际问题所提出的光滑性要求。在工业设计中，对曲线的光滑性均有一定的要求，例如，飞机、船舶、汽车等外形设计中，要求外形曲线呈流线型，即要求曲线很光顺，作为逼近曲线的分段低次插值并不能满足光顺条件，为此，希望有一条逼近曲线：它在给出的结点上与函数有相同的值，在两个结点之间为一条三次曲线，在整条曲线上有二阶连续导数，这就是**三次样条 (spline) 函数**，及**三次样条插值**。

定义 5 $\Delta: a = x_0 < x_1 < x_2 < \cdots < x_n = b$ 为 $[a, b]$ 上的一个分割，若函数 $S(x)$ 满足：

(1) $S(x)$ 在每个子区间 $[x_i, x_{i+1}]$ 上为不高于三次的多项式;

(2) $S(x) \in C^2(a, b)$ 。

则称 $S(x)$ 为分割 Δ 上的一个**三次样条函数**。

(3) $S(x_i) = f(x_i), i = 0, 1, \dots, n$

则称 $S(x)$ 为 $f(x)$ 在 Δ 上的**三次样条插值函数**。

● **注: k 次样条插值函数 $S(x)$:**

$\Delta: a = x_0 < x_1 < x_2 < \dots < x_n = b$ 为 $[a, b]$ 上的一个分割, 若函数 $S(x)$ 满足:

(1) $S(x) \in C^{k-1}(a, b)$;

(2) $S(x)$ 在每个小区间 $[x_i, x_{i+1}]$ 上为不高于 k 次的多项式;

(3) $S(x_i) = f(x_i), i = 0, 1, \dots, n$

则称 $S(x)$ 为 $f(x)$ 在 Δ 上的 k **次样条插值函数**。

对 $[a, b]$ 上的分割 Δ , 若 $S^{(1)}(x), S^{(2)}(x)$ 均为 Δ 上三次样函数, 则它们的线性组合 $\alpha S^{(1)}(x) + \beta S^{(2)}(x)$ 也是 Δ 上的三次样条函数。记 $S(\Delta, 3)$ 为 Δ 上三次样函数集合, 则 $S(\Delta, 3)$ 成为一个线性空间, 且 $S(\Delta, 3)$ 的维数为 $n+3$ (即 $4n-3(n-1)$)。

● **$f(x)$ 在分割 Δ 上的三次样条插值的提法:**

对 $[a, b]$ 上分割 $\Delta: a = x_0 < x_1 < x_2 < \dots < x_n = b$, 若有 $S(x) \in S(\Delta, 3)$, 满足

$S(x_i) = f(x_i), i = 0, 1, \dots, n$

则称 $S(x)$ 为 $f(x)$ 在 Δ 上的**三次样条插值函数**。

由于 $\dim S(\Delta, 3) = n+3$, 而已知条件共有 $n+1$ 个:

$$S(x_i) = f(x_i), i = 0, 1, \dots, n$$

所以满足条件的三次样条插值函数实际上有无穷多个。

唯一性：需要提出另外两个限制条件。这两个条件一般在端点提出，称为**边界条件**或**端点条件**。**边界条件**通常有三种提法：

(1) $S(x)$ 两端的一阶导数等于预先给定的值，即

$$S'(x_0) = y'_0, S'(x_n) = y'_n$$

称为 D_1 样条。

(2) $S(x)$ 两端的二阶导数值等于预先给定值，即

$$S''(x_0) = y''_0, S''(x_n) = y''_n$$

称为 D_2 样条。特别地，当 $S''(x_0) = S''(x_n) = 0$ 时，为**自然样条**。

(3) 若三次样条为以 $b-a$ 为周期的周期函数(给出的函数应满足 $f(x_n) = f(x_0)$ ，此时 $S(x_0 + 0) = S(x_n - 0)$)，则称

$$S'(x_0 + 0) = S'(x_n - 0), S''(x_0 + 0) = S''(x_n - 0)$$

为**周期样条**。

三次样条插值函数的计算：

● 三次样条插值的三斜率（三转角）方程组

对分割 $\Delta: a = x_0 < x_1 < x_2 < \dots < x_n = b$ ，记 $S(x)$ 为 $f(x)$ 关于分割 $\Delta: a = x_0 < x_1 < x_2 < \dots < x_n = b$ 的三次样条插值函数。

设 $S'(x_i) = d_i, i = 0, 1, \dots, n$ 。

在小区间 $[x_i, x_{i+1}]$ 上， $S(x)$ 为一个不高于三次的多项式，记 $S(x)$ 在 $[x_i, x_{i+1}]$ 上的表达式为 $S_i(x)$ ，于是有

$$S_i(x_i) = f(x_i), \quad S_i(x_{i+1}) = f(x_{i+1})$$

$$S'_i(x_i) = d_i, \quad S'_i(x_{i+1}) = d_{i+1}$$

$S_i(x)$ 为满足以上条件的一个三次 **Hermite** 插值。记

$$h_{i+1} = x_{i+1} - x_i, \quad \text{得}$$

$$\begin{aligned} S_i(x) &= \frac{1}{h_{i+1}^3} [h_{i+1} + 2(x - x_i)](x - x_{i+1})^2 f(x_i) \\ &\quad + \frac{1}{h_{i+1}^3} [h_{i+1} + 2(x - x_{i+1})](x - x_i)^2 f(x_{i+1}) \\ &\quad + \frac{1}{h_{i+1}^2} (x - x_i) (x - x_{i+1})^2 d_i \\ &\quad + \frac{1}{h_{i+1}^2} (x - x_{i+1}) (x - x_i)^2 d_{i+1} \end{aligned}$$

故有

$$\begin{aligned} S''_i(x) &= \frac{6}{h_{i+1}^3} [h_{i+1} + 2(x - x_{i+1})] f(x_i) \\ &\quad + \frac{6}{h_{i+1}^3} [h_{i+1} - 2(x - x_i)] f(x_{i+1}) \\ &\quad + \frac{1}{h_{i+1}^2} [6(x - x_{i+1}) + 2h_{i+1}] d_i \\ &\quad + \frac{1}{h_{i+1}^2} [6(x - x_i) - 2h_{i+1}] d_{i+1} \end{aligned}$$

同样, 在 $[x_{i-1}, x_i]$ 上, $S(x)$ 的表达式 $S_{i-1}(x)$ 的二阶导数函数为

$$\begin{aligned} S''_{i-1}(x) &= \frac{6}{h_i^3} [h_i + 2(x - x_i)] f(x_{i-1}) \\ &\quad + \frac{6}{h_i^3} [h_i - 2(x - x_{i-1})] f(x_i) \\ &\quad + \frac{1}{h_i^2} [6(x - x_i) + 2h_i] d_{i-1} \end{aligned}$$

$$+ \frac{1}{h_i^2} [6(x - x_{i-1}) - 2h_i] d_i$$

由于 $S(x) \in C^2(a, b)$, 故有

$$S_i''(x_i + 0) = S_{i-1}''(x_i - 0)$$

整理后得到关系式

$$\begin{aligned} & \frac{h_{i+1}}{h_i + h_{i+1}} d_{i-1} + 2d_i + \frac{h_i}{h_i + h_{i+1}} d_{i+1} \\ &= 3 \left[\frac{h_{i+1}}{h_i + h_{i+1}} \cdot \frac{f(x_i) - f(x_{i-1}))}{h_i} + \frac{h_i}{h_i + h_{i+1}} \cdot \frac{f(x_{i+1}) - f(x_i)}{h_{i+1}} \right] \end{aligned}$$

引入记号

$$\lambda_i = \frac{h_{i+1}}{h_i + h_{i+1}}, \quad \mu_i = 1 - \lambda_i = \frac{h_i}{h_i + h_{i+1}}$$

$$C_i = 3(\lambda_i f[x_{i-1}, x_i] + \mu_i f[x_i, x_{i+1}])$$

则有

● **三次样条插值的 d 关系式（或 m 关系式）：**

$$\lambda_i d_{i-1} + 2d_i + \mu_i d_{i+1} = C_i, i=1, 2, \dots, n-1$$

d 关系式中包含有 $n-1$ 个线性方程，而未知量有 $n+1$ 个，需加上两个端点条件，才能解得 $\{d_i\}_{i=0}^n$ 。

(1) D_1 样条： $S(x)$ 的两端一阶导数为一个预先给定的值：

$$S'(x_0) = y'_0, \quad S'(x_n) = y'_n$$

对这类边界条件,只需求出内结点上 d_i ($i = 1, \dots, n-1$) 值, 它们可由线性方程组

$$\begin{pmatrix} 2 & \mu_1 & & \\ \lambda_2 & 2 & \mu_2 & \\ & \ddots & \ddots & \ddots \\ & & \lambda_{n-2} & 2 & \mu_{n-2} \\ & & & \lambda_{n-1} & 2 \end{pmatrix} \begin{pmatrix} d_1 \\ d_2 \\ \vdots \\ d_{n-2} \\ d_{n-1} \end{pmatrix} = \begin{pmatrix} C_1 - \lambda_1 y'_0 \\ C_2 \\ \vdots \\ C_{n-2} \\ C_{n-1} - \mu_{n-1} y'_n \end{pmatrix}$$

决定。

(2) **D_2 样条:** $S(x)$ 两端的二阶导数值等于预先给定值:

$$S''(x_0) = y''_0, \quad S''(x_n) = y''_n$$

由 $S''(x)$ 在 $[x_i, x_{i+1}]$ 的表达式, 容易得到

$$2d_0 + d_1 = 3f[x_0, x_1] - \frac{h_1}{2} y''_0$$

$$d_{n-1} + 2d_n = 3f[x_{n-1}, x_n] + \frac{h_n}{2} y''_n$$

于是可得到关于 $\{d_i\}_{i=0}^n$ 的一组线性方程组

$$\begin{pmatrix} 2 & 1 & & \\ \lambda_1 & 2 & \mu_1 & \\ & \ddots & \ddots & \ddots \\ & & \lambda_{n-1} & 2 & \mu_{n-1} \\ & & & 1 & 2 \end{pmatrix} \begin{pmatrix} d_0 \\ d_1 \\ \vdots \\ d_{n-1} \\ d_n \end{pmatrix} = \begin{pmatrix} 3f[x_0, x_1] - \frac{h_1}{2} y''_0 \\ C_1 \\ \vdots \\ C_{n-1} \\ 3f[x_{n-1}, x_n] + \frac{h_n}{2} y''_n \end{pmatrix}$$

(3) **周期样条:** 若三次样条为以 $b-a$ 为周期的周期函数 (给出的函数应满足 $f(x_n) = f(x_0)$, 此时 $S(x_0) = S(x_n)$):

$$S'(x_0) = S'(x_n), \quad S''(x_0) = S''(x_n)$$

于是, 在 d 关系式中, $i = n-1$ 的那个方程为:

$$\lambda_{n-1} d_{n-2} + 2d_{n-1} + \mu_{n-1} d_0 = C_{n-1}$$

而由 $S'(x_0) = S'(x_n)$, 可得到另一关系式:

$$\lambda_0 d_{n-1} + 2d_0 + \mu_0 d_1 = C_0$$

这里 $\lambda_0 = \frac{h_1}{h_n + h_1}, \mu_0 = 1 - \lambda_0 = \frac{h_n}{h_n + h_0}$

$$C_0 = 3(\lambda_0 f[x_{n-1}, x_n] + \mu_0 f[x_0, x_1])$$

于是得到关于 $\{d_i\}_{i=0}^{n-1}$ 的线性方程组

$$\begin{pmatrix} 2 & \mu_0 & & \lambda_0 \\ \lambda_1 & 2 & & \mu_1 \\ & \ddots & \ddots & \ddots \\ & & \lambda_{n-2} & 2 & \mu_{n-2} \\ \mu_{n-1} & & & \lambda_{n-1} & 2 \end{pmatrix} \begin{pmatrix} d_0 \\ d_1 \\ \vdots \\ d_{n-2} \\ d_{n-1} \end{pmatrix} = \begin{pmatrix} C_0 \\ C_1 \\ \vdots \\ C_{n-2} \\ C_{n-1} \end{pmatrix}$$

● 三次样条插值的三弯矩方程组 (M 关系式)

对于样条插值函数 $S(x) \in C^2(a, b)$, 设

$$S''(x_i) = M_i, \quad i = 0, 1, \dots, n$$

为待求参数。

记 $S(x)$ 在 $[x_i, x_{i+1}]$ 上的表达式为 $S_i(x)$, 于是有

$$S_i(x_i) = f(x_i), \quad S_i(x_{i+1}) = f(x_{i+1})$$

$$S_i''(x_i) = M_i, \quad S_i''(x_{i+1}) = M_{i+1}$$

则 $S_i(x)$ 可表示为:

$$\begin{aligned} S_i(x) = & M_i \frac{(x_{i+1}-x)^3}{6h_{i+1}} + M_{i+1} \frac{(x-x_i)^3}{6h_{i+1}} \\ & + \left(y_i - \frac{M_i}{6}h_{i+1}^2\right) \frac{x_{i+1}-x}{h_{i+1}} + \left(y_{i+1} - \frac{M_{i+1}}{6}h_{i+1}^2\right) \frac{x-x_i}{h_{i+1}} \end{aligned} \quad (4.39)$$

故有

$$\begin{aligned}
S'_i(x) = & -M_i \frac{(x_{i+1}-x)^2}{2h_{i+1}} + M_{i+1} \frac{(x-x_i)^2}{2h_{i+1}} \\
& + \frac{y_{i+1}-y_i}{h_{i+1}} - \frac{h_{i+1}}{6} (M_{i+1} - M_i)
\end{aligned} \quad (4.41)$$

同样, 在 $[x_{i-1}, x_i]$ 上, $S(x)$ 的表达式 $S_{i-1}(x)$ 的二阶导数函数为

$$\begin{aligned}
S'_{i-1}(x) = & -M_{i-1} \frac{(x_i-x)^2}{2h_i} + M_i \frac{(x-x_{i-1})^2}{2h_i} \\
& + \frac{y_i-y_{i-1}}{h_i} - \frac{h_i}{6} (M_i - M_{i-1})
\end{aligned}$$

由于 $S(x) \in C^2(a, b)$, 故有

$$S'_i(x_i + 0) = S'_{i-1}(x_i - 0)$$

可得:

$$f[x_i, x_{i+1}] - \frac{h_{i+1}}{3} M_i - \frac{h_{i+1}}{6} M_{i+1} = f[x_{i-1}, x_i] + \frac{h_i}{3} M_{i-1} + \frac{h_i}{6} M_i$$

整理上式, 可得到

● 三次样条插值的 M 关系式:

$$\mu_i M_{i-1} + 2M_i + \lambda_i M_{i+1} = c_i, \quad i = 1, 2, \dots, n-1 \quad (4.45)$$

式中 λ_i, μ_i 定义如前, $c_i = 6f[x_{i-1}, x_i, x_{i+1}]$

若加上两个端点条件, 通过 M 关系式可解得 $\{M_i\}_{i=0}^n$ 。

下面给出不同端点条件时, $\{M_i\}_{i=0}^n$ 满足的方程组:

(1) D_1 样条: $S(x)$ 的两端一阶导数为一个预先给定的值:

$$S'(x_0) = y'_0, \quad S'(x_n) = y'_n$$

对 $i = 0$ 及 $i = n-1$ 时的 $S_i(x)$ 求导, 并分别对 x_0, x_n 代入,

整理后可得到:

$$2M_0 + M_1 = \frac{6}{h_1}(f[x_0, x_1] - y'_0) \quad (4.46)$$

$$M_{n-1} + 2M_n = \frac{6}{h_n}(y'_n - f[x_{n-1}, x_n]) \quad (4.47)$$

得到关于 $\{M_i\}_{i=0}^n$ 的方程组

$$\begin{pmatrix} 2 & 1 & & & \\ \mu_1 & 2 & \lambda_1 & & \\ & \ddots & \ddots & \ddots & \\ & & \mu_{n-1} & 2 & \lambda_{n-1} \\ & & & 1 & 2 \end{pmatrix} \begin{pmatrix} M_0 \\ M_1 \\ \vdots \\ M_{n-1} \\ M_n \end{pmatrix} = \begin{pmatrix} \frac{6}{h_1}(f[x_0, x_1] - y'_0) \\ c_1 \\ \vdots \\ c_{n-1} \\ \frac{6}{h_n}(y'_n - f[x_{n-1}, x_n]) \end{pmatrix} \quad (4.48)$$

(2) D_2 样条: $S(x)$ 两端的二阶导数值等于预先给定值:

$$S''(x_0) = y''_0, \quad S''(x_n) = y''_n$$

得到关于 $\{M_i\}_{i=1}^{n-1}$ 方程组:

$$\begin{pmatrix} 2 & \lambda_1 & & & \\ \mu_2 & 2 & \lambda_2 & & \\ & \ddots & \ddots & \ddots & \\ & & \mu_{n-2} & 2 & \lambda_{n-2} \\ & & & \mu_{n-1} & 2 \end{pmatrix} \begin{pmatrix} M_1 \\ M_2 \\ \vdots \\ M_{n-2} \\ M_{n-1} \end{pmatrix} = \begin{pmatrix} c_1 - \mu_1 y''_0 \\ c_2 \\ \vdots \\ c_{n-2} \\ c_{n-1} - \lambda_{n-1} y''_n \end{pmatrix} \quad (4.50)$$

(3) 周期样条: 若三次样条为以 $b-a$ 为周期的周期函数 (给出的函数应满足 $f(x_n) = f(x_0)$, 此时 $S(x_0) = S(x_n)$):

$$S'(x_0) = S'(x_n), \quad S''(x_0) = S''(x_n)$$

可得到:

$$\mu_0 M_{n-1} + 2M_0 + \lambda_0 M_1 = \frac{6}{h_1 + h_n}(f[x_0, x_1] - f[x_{n-1}, x_n])$$

这里 $\lambda_0 = \frac{6}{h_1 + h_n}$, $\mu_0 = 1 - \lambda_0 = \frac{h_n}{h_1 + h_n}$

而在 M 关系式中, $i = n-1$ 时的关系可改写为:

$$\mu_{n-1}M_{n-1} + 2M_{n-1} + \lambda_{n-1}M_0 = c_{n-1}$$

于是可得到关于 $\{M_i\}_{i=0}^{n-1}$ 的线性方程组:

$$\begin{pmatrix} 2 & \lambda_0 & & \mu_0 \\ \mu_1 & 2 & \lambda_1 & \\ & \ddots & \ddots & \ddots \\ & & \mu_{n-2} & 2 & \lambda_{n-2} \\ \lambda_{n-1} & & \mu_{n-1} & 2 \end{pmatrix} \begin{pmatrix} M_0 \\ M_1 \\ \vdots \\ M_{n-2} \\ M_{n-1} \end{pmatrix} = \begin{pmatrix} \frac{6}{h_1 + h_n}(f[x_0, x_1] - f[x_{n-1}, x_n]) \\ c_1 \\ \vdots \\ c_{n-2} \\ c_{n-1} \end{pmatrix} \quad (4.52)$$

定理 3 满足第 (1) 或第 (2) 或第 (3) 种边界条件的三次样条插值函数 $S(x)$ 存在且唯一。

例4 参见教材 p. 95 。

§ 6 曲线拟合的最小二乘法

● 函数逼近论的研究通常涉及两类问题：

(1) 当一个函数显式地给出时，希望用“更简单”的函数类（一般要求在给定结点上的函数值相等），比如多项式、三角多项式等来近似该函数，如函数的多项式插值等。

(2) 使函数“拟合”给定的数据并在某一特定的函数类中寻找“最佳”的一个函数来表示这些数据（不要求在给定结点上的函数值相等）。

在科学实验和生产实践中，经常要从一组实验数据 $(x_i, y_i) (i=1, 2, \dots, m)$ 出发，寻求函数 $y=f(x)$ 的一个近似表达式 $y=\varphi(x)$ （称为经验公式）。从几何上看，就是根据给定的 m 个点 (x_i, y_i) ，求曲线 $y=f(x)$ 的一条近似曲线 $y=\varphi(x)$ 。这是一个**曲线拟合**的问题。

多项式插值虽然在一定程度上解决了求函数的近似表达式问题，但它存在**缺陷**：首先，由实验提供的数据通常带有测试误差；其次，实验提供的数据往往较多（即 m 较大），用插值法得到的近似表达式，缺乏实用价值。

● 怎样从给定的一组实验数据出发，在某个函数类中寻求一个“最好”的函数 $\varphi(x)$ 来拟合这组数据？

根据拟合效果“好”、“坏”标准的不同，解决此类问题的方法也就不同。这里，我们介绍一种最常用的曲线拟合方法，即最

小二乘法。

6.1 最小二乘问题的提法

不要求近似曲线 $y = \varphi(x)$ 严格地通过所有数据点 (x_i, y_i) ,
即**不要求**拟合函数在 x_i 处的**偏差** (亦称**残差**):

$$\delta_i = \varphi(x_i) - y_i \quad (i = 1, 2, \dots, m)$$

都**严格地等于零**。但是,为了使近似曲线能尽量反映给定数据点的变化趋势,要求 $|\delta_i|$ 都较小。

● 几种常用的衡量标准:

(1) 选取 $\varphi(x)$, 使偏差绝对值之和最小:

$$\sum_{i=1}^m |\delta_i| = \sum_{i=1}^m |\varphi(x_i) - y_i| = \min$$

(2) 选取 $\varphi(x)$, 使偏差最大绝对值最小:

$$\max_{1 \leq i \leq m} |\delta_i| = \max_{1 \leq i \leq m} |\varphi(x_i) - y_i| = \min$$

(3) 选取 $\varphi(x)$, 使偏差平方和最小:

$$\sum_{i=1}^m \delta_i^2 = \sum_{i=1}^m [\varphi(x_i) - y_i]^2 = \min \quad (4.53)$$

为了便于计算、分析与应用,较多地根据“使偏差平方和最小”的原则(称为**最小二乘原则**)来选取拟合曲线 $y = \varphi(x)$ 。

按最小二乘原则选择拟合曲线的方法,称为**最小二乘法**。

● 用最小二乘法解决实际问题包含两个基本环节:

(1) 确定函数类: 根据所给数据点的变化趋势与问题的实际背

景确定函数类 Φ ，即确定 $\varphi(x)$ 所具有的形式；

(2) 最小二乘法求解：按最小二乘原则，求满足(4.53)的最小二乘解 $\varphi^*(x)$ 。

6.2 最小二乘解的求法

设 $\varphi(x)$ 具有如下形式：

$$\varphi(x) = F(a_0, a_1, \dots, a_n, x) \quad (4.54)$$

其中 $n < m$, a_k ($k = 0, 1, \dots, n$) 是待定参数。

记

$$S(a_0, a_1, \dots, a_n) = \sum_{i=1}^m [F(a_0, a_1, \dots, a_n, x_i) - y_i]^2$$

根据最小二乘法原则，求 $a_0^*, a_1^*, \dots, a_n^*$ ，满足：

$$\frac{\partial S}{\partial a_k} = 0 \quad (k = 0, 1, \dots, n) \quad (4.56)$$

由法方程组(4.56)的解 $a_0^*, a_1^*, \dots, a_n^*$ 而得到的：

$$\varphi^*(x) = F(a_0^*, a_1^*, \dots, a_n^*, x) \quad (4.55)$$

就为所求的**最小二乘解**。

● 线性最小二乘问题的求法：

在某个函数类 $\Phi = \text{span}\{\varphi_0(x), \varphi_1(x), \dots, \varphi_n(x)\}$ 中寻求一个函数：

$$\varphi^*(x) = a_0^* \varphi_0(x) + a_1^* \varphi_1(x) + \dots + a_n^* \varphi_n(x)$$

使 $\varphi^*(x)$ 满足条件：

$$\sum_{i=1}^m [\varphi^*(x_i) - y_i]^2 = \min_{\varphi(x) \in \Phi} \sum_{i=1}^m [\varphi(x_i) - y_i]^2$$

其中 $\varphi(x) = a_0\varphi_0(x) + a_1\varphi_1(x) + \cdots + a_n\varphi_n(x) \in \Phi$ 。

此时,

$$S(a_0, a_1, \cdots, a_n) = \sum_{i=1}^m \left[\sum_{k=0}^n a_k \varphi_k(x_i) - y_i \right]^2$$

由 $\frac{\partial S}{\partial a_k} = 0 \quad (k = 0, 1, \cdots, n)$, 得

$$\sum_{i=1}^m \varphi_k(x_i) [a_0\varphi_0(x_i) + \cdots + a_n\varphi_n(x_i) - y_i] = 0, \quad k = 0, 1, \cdots, n$$

即

$$a_0 \sum_{i=1}^m \varphi_k(x_i) \varphi_0(x_i) + \cdots + a_n \sum_{i=1}^m \varphi_k(x_i) \varphi_n(x_i) = \sum_{i=1}^m \varphi_k(x_i) y_i$$

若引入内积记号:

$$(h, g) = \sum_{i=1}^m h(x_i) g(x_i) \quad (4.58)$$

则上述方程组可以表示成

$$a_0(\varphi_k, \varphi_0) + \cdots + a_n(\varphi_k, \varphi_n) = (\varphi_k, f), \quad k = 0, 1, \cdots, n$$

写成矩形式即:

$$\begin{bmatrix} (\varphi_0, \varphi_0) & (\varphi_0, \varphi_1) & \cdots & (\varphi_0, \varphi_n) \\ (\varphi_1, \varphi_0) & (\varphi_1, \varphi_1) & \cdots & (\varphi_1, \varphi_n) \\ \vdots & \vdots & & \vdots \\ (\varphi_n, \varphi_0) & (\varphi_n, \varphi_1) & \cdots & (\varphi_n, \varphi_n) \end{bmatrix} \begin{bmatrix} a_0 \\ a_1 \\ \vdots \\ a_n \end{bmatrix} = \begin{bmatrix} (\varphi_0, f) \\ (\varphi_1, f) \\ \vdots \\ (\varphi_n, f) \end{bmatrix} \quad (4.59)$$

若方程组 (4.59) 存在唯一解:

$$a_0 = a_0^*, a_1 = a_1^*, \dots, a_n = a_n^*$$

则相应的函数:

$$\varphi^*(x) = a_0^* \varphi_0(x) + a_1^* \varphi_1(x) + \dots + a_n^* \varphi_n(x)$$

就是满足条件(4.53)的**最小二乘解**。

定义 9(哈尔条件) 设 $\varphi_0(x), \varphi_1(x), \dots, \varphi_n(x) \in C[a, b]$ 的任意线性组合在点集 $\{x_i\}_{i=1}^m$ ($m \geq n+1$) 上至多只有 n 个不同的零点, 则称 $\varphi_0(x), \varphi_1(x), \dots, \varphi_n(x)$ 在集合 $\{x_i\}_{i=1}^m$ 上满足哈尔 (Haar) 条件。

当 $\varphi_0(x), \varphi_1(x), \dots, \varphi_n(x)$ 在集合 $\{x_i\}_{i=1}^m$ 上满足哈尔条件时, 法方程组对应的系数矩阵行列式不等于 0, 故方程组存在唯一解, 相应的函数: $\varphi^*(x) = a_0^* \varphi_0(x) + a_1^* \varphi_1(x) + \dots + a_n^* \varphi_n(x)$ 就是满足条件(4.53)的最小二乘解。

● 多项式拟合最小二乘法:

曲线拟合的一种常用情况: 取函数空间 Φ 为代数多项式函数空间, 即取

$$\varphi_0(x) = 1, \varphi_1(x) = x, \dots, \varphi_n(x) = x^n$$

则可得

$$(\varphi_j, \varphi_k) = \sum_{i=1}^m x_i^j x_i^k = \sum_{i=1}^m x_i^{j+k}, \quad j, k = 0, 1, \dots, n$$

$$(\varphi_j, f) = \sum_{i=1}^m x_i^j y_i, \quad k = 0, 1, \dots, n$$

故相应的法方程组为:

$$\begin{bmatrix} m & \sum_{i=1}^m x_i & \cdots & \sum_{i=1}^m x_i^n \\ \sum_{i=1}^m x_i & \sum_{i=1}^m x_i^2 & \cdots & \sum_{i=1}^m x_i^{n+1} \\ \vdots & \vdots & & \vdots \\ \sum_{i=1}^m x_i^n & \sum_{i=1}^m x_i^{n+1} & \cdots & \sum_{i=1}^m x_i^{2n} \end{bmatrix} \begin{bmatrix} a_0 \\ a_1 \\ \vdots \\ a_n \end{bmatrix} = \begin{bmatrix} \sum_{i=1}^m y_i \\ \sum_{i=1}^m x_i y_i \\ \vdots \\ \sum_{i=1}^m x_i^n y_i \end{bmatrix} \quad (4.61)$$

● 求最小二乘法解的步骤：

(1) 根据数据 $(x_i, y_i) (i = 1, 2, \cdots, m)$ ，确定函数空间 Φ 和基函数 $\varphi_0(x), \varphi_1(x), \cdots, \varphi_n(x)$ ；

(2) 根据 $\varphi(x)$ 的特点，建立 $a_k (k = 0, 1, \cdots, n)$ 的法方程组；

(3) 通过解法方程组求取最小二乘解 $\varphi^*(x)$ 对应的参数 $a_k^* (k = 0, 1, \cdots, n)$ 。

下面，通过具体例子来说明用最小二乘法解决实际问题的具体步骤与某些技巧。

例 某种铝合金的含铝量为 x (%), 其熔解为 y (c), 由实验测得 x 与 y 的数据如下表左边三列。试用最小二乘法建立 x 与 y 这间的经验公式。(本例类同于教材 p. 106, 例 5)

i	x_i	y_i	x_i^2	$x_i y_i$
1	36.9	181	1361.61	6678.9
2	46.7	197	2180.89	9199.9
3	63.7	235	4057.69	14969.5
4	77.8	270	6052.84	21006.0
5	84.0	283	7056.00	23772.0
6	87.5	292	7656.25	25550.0
Σ	396.6	1458	28856.25	101176.3

解 根据前面讨论，解决问题的过程如下：

(1) 画草图。将表中给出的数据点 (x_i, y_i) ($i=1,2,\dots,6$) 描绘在坐标纸上，如下图所示。

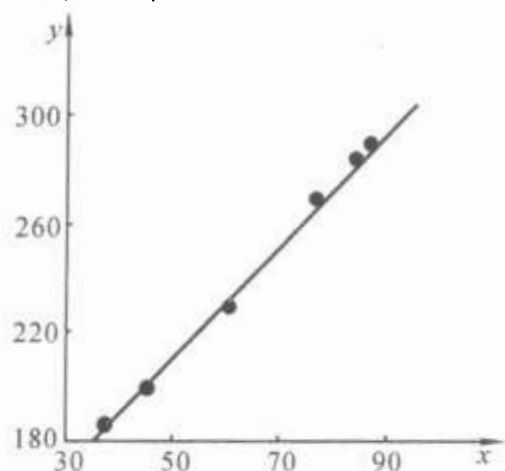


图 3-1

(2) 确定拟合曲线的形式。
由上图可以看出，六个点位于一条直线的附近，故可以用线性函数来拟合这组实验数据，即令

$$\varphi(x) = a + bx$$

其中， a, b 为待定常数。

(3) 建立法方程组。由于问题归结为一次多项式拟合问题，故由(4.61)知，相应的法方程组为：

$$\begin{bmatrix} 6 & \sum_{i=1}^6 x_i \\ \sum_{i=1}^6 x_i & \sum_{i=1}^6 x_i^2 \end{bmatrix} \begin{bmatrix} a \\ b \end{bmatrix} = \begin{bmatrix} \sum_{i=1}^6 y_i \\ \sum_{i=1}^6 x_i y_i \end{bmatrix}$$

经过计算（见上表），即得确定待定数 a, b 的法方程组：

$$\begin{cases} 6a + 396.9b = 1458 \\ 396.6a + 28365.28b = 101176.3 \end{cases}$$

(4) 解法方程组，得

$$a = 95.3524, \quad b = 2.2337$$

将所得的结果代入方程，即得经验公式

$$\varphi(x) = 95.3524 + 2.2337x$$

所得经验公式能否较好地反映客观规律，还需通过实践来检验。由经验公式算出的函数值（称为拟合值）：

$$\varphi_i = 95.3524 + 2.2337 x_i, i = 1, 2, \dots, 6$$

与实测值之间有一定偏差。

i	1	2	3	4	5	6
x_i	36.9	46.7	63.7	77.8	84.0	87.5
φ_i	177.78	199.67	237.64	269.13	282.98	290.80
y_i	181	197	235	270	283	292
δ_i	-3.22	2.67	2.64	-0.87	-0.02	-1.20
δ_i^2	10.37	7.13	6.97	0.76	0.76	1.44
$\sum \delta_i^2$	26.6704					

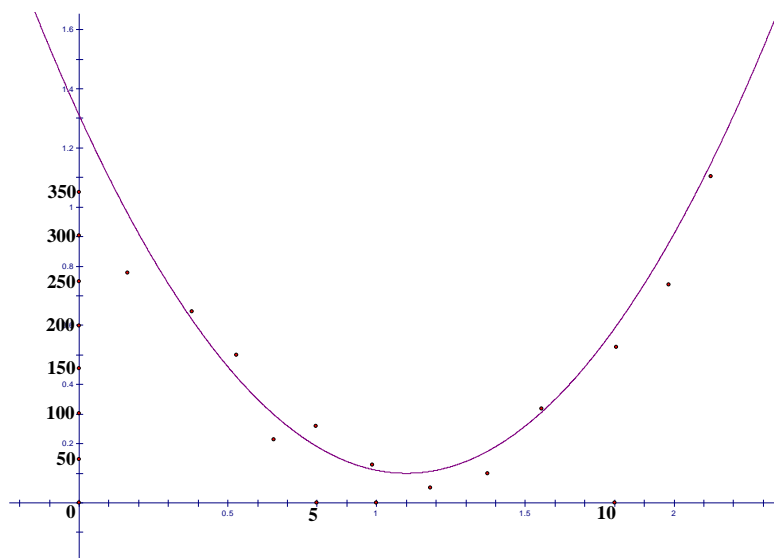
由上表可以看出，偏差的平方和 $\sum_{i=1}^6 \delta_i^2 = 26.6704$ ，其平方根（称为均方误差） $\sqrt{\sum \delta_i^2} = 5.164$ ，在一定程度上反映了所得经验公式的好坏。同时由表 2 可以看出，最大偏差 $\max_{1 \leq i \leq 6} |\delta_i| = 3.22$ 。如果认为这样的误差都允许的话，我们就可以用经验公式来计算含铝量在 36.9%~87.5%之间的溶解温度。否则，就要用改变函数型增加实验数据等办法来建立新的经验公式。

例 下表记录的是某羊毛衫厂一年来羊毛衫的销售情况，销售单位为箱。试建立月份（ x ）与销量（ y ）之间的关系。

x	1	2	3	4	5	6	7	8	9	10	11	12
y	256	201	159	61	77	40	17	25	103	156	222	345

解 (1)画草图。将表中给出的数据点 (x_i, y_i) ($i = 1, 2, \dots, 12$)

描绘在坐标纸上，如下图所示。



(2) 确定拟合曲线的形式。由上图可以看出，六个点位于一抛物线的两侧，故可以用抛物线函数来拟合这组实验数据，即令

$$\varphi(x) = a + bx + cx^2$$

其中， a, b, c 为待定常数。

(3) 建立法方程组。由于问题归结为一次多项式拟合问题，故由经验公式知，相应的法方程组形如

$$\begin{bmatrix} 12 & \sum_{i=1}^6 x_i & \sum_{i=1}^6 x_i^2 \\ \sum_{i=1}^6 x_i & \sum_{i=1}^6 x_i^2 & \sum_{i=1}^6 x_i^3 \\ \sum_{i=1}^6 x_i^2 & \sum_{i=1}^6 x_i^3 & \sum_{i=1}^6 x_i^4 \end{bmatrix} \begin{bmatrix} a \\ b \\ c \end{bmatrix} = \begin{bmatrix} \sum_{i=1}^6 y_i \\ \sum_{i=1}^6 x_i y_i \\ \sum_{i=1}^6 x_i^2 y_i \end{bmatrix}$$

经过计算，即得确定待定数 a, b, c 的法方程组：

$$\begin{bmatrix} 12 & 78 & 650 \\ 78 & 650 & 6084 \\ 650 & 6084 & 60710 \end{bmatrix} \begin{bmatrix} a \\ b \\ c \end{bmatrix} = \begin{bmatrix} 1662 \\ 11392 \\ 109750 \end{bmatrix}$$

(4) 解法方程组，得

$$a = 386, \quad b = -113.43, \quad c = 9.04$$

将所得的结果代入方程，即得经验公式

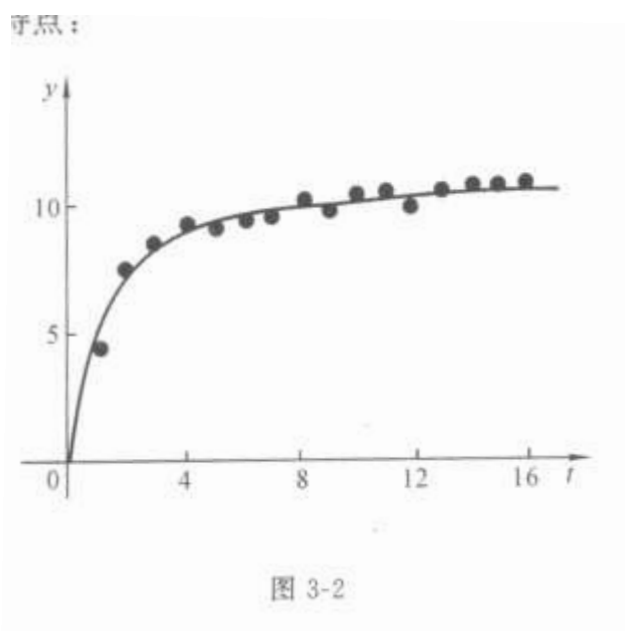
$$\varphi(x) = 386 - 113.43x + 9.04x^2$$

例 6 在某化学反应里，测得生成物浓度 $y(\%)$ 与时间 $t(\text{min})$ 的数据见表 4-6，试用最小二乘法建立 t 与 y 之间的经验公式。

表 4-6

t	1	2	3	4	5	6	7	8
y	4.00	6.40	8.00	8.80	9.22	9.50	9.70	9.86
t	9	10	11	12	13	14	15	16
y	10.00	10.20	10.32	10.42	10.50	10.55	10.58	10.60

解 将已知数据点 (t_i, y_i) ($i = 1, 2, \dots, 16$) 描绘在坐标纸上，见下图。



由上图及问题的物理背景可以看出, 拟合曲线 $y = \varphi(t)$ 应具有下列特点:

- (1) 曲线随着 t 的增加而上升, 但上升速度由快到慢。
- (2) 当 $t = 0$, 反应尚未开始, 即 $y = 0$; 当 $t \rightarrow \infty$ 时, y 趋于某一常数。故曲线应通过原点 (或者当 $t \rightarrow 0$ 时以原点为极限点), 且有一水平渐近线。

具有上述特点的曲线很多, 选用不同的数学模型, 可以获得不同的拟合曲线与经验公式。

下面提供两种方案:

方案 1 设 $y = \varphi(t)$ 是双曲线的, 并且具有下面的形式:

$$y = \frac{t}{at + b} \quad (4.62)$$

此时, 若直接按最小二乘原则去确定参数 a 和 b , 则问题归结为求二元函数:

$$S(a, b) = \sum_{i=1}^{16} \left(\frac{t_i}{at_i + b} - y_i \right)^2$$

的极小点, 这将导致求解非线性方程组

$$\begin{cases} \frac{\partial S}{\partial a} = -2 \sum_{i=1}^{16} \frac{t_i^2}{(at_i + b)^2} \left(\frac{t_i}{at_i + b} - y_i \right) = 0 \\ \frac{\partial S}{\partial b} = -2 \sum_{i=1}^{16} \frac{t_i}{(at_i + b)^2} \left(\frac{t_i}{at_i + b} - y_i \right) = 0 \end{cases}$$

给计算带来了麻烦。

可以通过变量替换将它转化为关于待定参数的线性函数。为

此，将(4.62)改写成：

$$\frac{1}{y} = a + \frac{b}{t}$$

于是，若引入新变量： $y^{(1)} = \frac{1}{y}$, $t^{(1)} = \frac{1}{t}$

则(4.62)就是

$$y^{(1)} = a + bt^{(1)} \quad (4.63)$$

同时，由题中所给数据表 4-6 可以算出新的数据表 4-7：

表 4-7

i	1	2	3	...	16
$t_i^{(1)} = \frac{1}{t_i}$	1.00000	0.50000	0.33333	...	0.06250
$y_i^{(1)} = \frac{1}{y_i}$	0.25000	0.15625	0.12500	...	0.09434

这样问题就归结为：根据数据表 4-7，求形如 $y^{(1)} = a + bt^{(1)}$ 的最小二乘解。

参照例 1 的做法，解法方程组：

$$\begin{bmatrix} 16 & \sum_{i=1}^{16} t_i^{(1)} \\ \sum_{i=1}^{16} t_i^{(1)} & \sum_{i=1}^{16} [t_i^{(1)}]^2 \end{bmatrix} \begin{pmatrix} a \\ b \end{pmatrix} = \begin{pmatrix} \sum_{i=1}^{16} y_i^{(1)} \\ \sum_{i=1}^{16} t_i^{(1)} y_i^{(1)} \end{pmatrix}$$

即得

$$a = 80.6621, \quad b = 161.6822$$

代入(4.62)式，得经验公式：

$$y = \frac{t}{80.6621t + 161.6822} \quad (4.64)$$

方案 2 设 $y = \varphi(t)$ 具有指数形式:

$$y = ae^{b/t}, \quad a > 0, \quad b < 0 \quad (4.65)$$

为了在求取参数 a 和 b 时, 避免求解一个非线性方程组, 对上式两边取对数:

$$\ln y = \ln a + \frac{b}{t}$$

此时若引入新变量 $y^{(2)} = \ln y, \quad t^{(2)} = \frac{1}{t}$

并记 $A = \ln a, \quad B = b$, 则上式就是:

$$y^{(2)} = A + Bt^{(2)} \quad (4.66)$$

又由数据表 4-6 可算出新的数据表 4-8。

表 4-8

i	1	2	3	...	16
$t_i^{(2)} = 1/t_i$	1.00000	0.50000	0.33333	...	0.06250
$y_i^{(2)} = \ln y_i$	1.38629	1.85360	2.07944	...	2.36085

于是**问题归结为**: 根据数据表 4-8, 求形如 $y^{(2)} = A + Bt^{(2)}$ 的最小二乘解。

参照方案 1, 写出相应的法方程组并解之, 即得:

$$A = -4.4807, \quad B = -1.0567$$

于是

$$a = e^A = 0.011325, \quad b = B = -1.0567$$

故得**另一个经验公式**:

$$y = 0.011325e^{-\frac{1.0567}{t}} \quad (4.67)$$

把两个不同的经验公式(4.64)和(4.67)进行比较（见表 4-9），从均方误差与最大偏差两个不同的角度看，后者均优于前者。

表 4-9

经验公式	均方误差	最大偏差
(4.64)式	1.19×10^{-3}	0.568×10^{-3}
(4.67)式	0.34×10^{-3}	0.277×10^{-3}

因此，在解决实际问题时，常常要经过反复分析，多次选择、计算与比较，才能获得较好的数学模型。

- **思考题：**用最小二乘法原理，求超定线性方程组：

$$\begin{cases} 2x + 4y = 11 \\ 3x - 5y = 3 \\ x + 2y = 6 \\ 2x + y = 7 \end{cases}, \text{ 并给出均方误差。}$$

6.3 加权技巧的应用

在实际问题中测得的所有实验数据，并不总是等精度、等地位的。显然，对于精度高或地位较重要的那些数据 (x_i, y_i) ，应当给予较大的权。在这种情况下，求给定数据的拟合曲线，就要采用**加权最小二乘法**。

- **用加权最小二乘法进行曲线拟合的要求与原则是：**对于给定的一组实验数据 $(x_i, y_i) (i = 1, 2, \dots, m)$ ，要求在某个函数类 $\Phi = \text{span}\{\varphi_0(x), \varphi_1(x), \dots, \varphi_n(x)\}$ 中，寻求一个函数：

$$\varphi^*(x) = a_0^* \varphi_0(x) + a_1^* \varphi_1(x) + \dots + a_n^* \varphi_n(x)$$

使

$$\sum_{i=1}^m W_i [\varphi^*(x_i) - y_i]^2 = \min_{\varphi(x) \in \Phi} \sum_{i=1}^m W_i [\varphi(x_i) - y_i]^2 \quad (4.68)$$

其中, $\varphi(x) = a_0\varphi_0(x) + a_1\varphi_1(x) + \cdots + a_n\varphi_n(x) \in \Phi$;
 W_i ($i=1, 2, \cdots, m$) 是一列正数, 称为**权**, 它的大小反映了数据
 (x_i, y_i) 地位的强弱。

● 求 $\varphi^*(x)$ 的问题可归结为求多元函数:

$$S(a_0, a_1, \cdots, a_n) = \sum_{i=1}^m W_i \left[\sum_{k=0}^n a_k \varphi_k(x_i) - y_i \right]^2$$

的极小点 $(a_0^*, a_1^*, \cdots, a_n^*)$ 。采用类似的方法, 可得相应的法方程组, 其中

$$(\varphi_k, \varphi_j) = \sum_{i=1}^m W_i \varphi_k(x_i) \varphi_j(x_i), \quad k, j = 0, 1, \cdots, n$$

$$(\varphi_k, f) = \sum_{i=1}^m W_i \varphi_k(x_i) y_i, \quad k = 0, 1, \cdots, n$$

作为特例, 如果选用多项式拟合曲线:

$$\varphi_0(x) = 1, \varphi_1(x) = x, \cdots, \varphi_n(x) = x^n$$

那么, 相应的法方程组:

$$\begin{bmatrix} \sum_{i=1}^m W_i & \sum_{i=1}^m W_i x_i & \cdots & \sum_{i=1}^m W_i x_i^n \\ \sum_{i=1}^m W_i x_i & \sum_{i=1}^m W_i x_i^2 & \cdots & \sum_{i=1}^m W_i x_i^{n+1} \\ \vdots & \vdots & & \vdots \\ \sum_{i=1}^m W_i x_i^n & \sum_{i=1}^m W_i x_i^{n+1} & \cdots & \sum_{i=1}^m W_i x_i^{2n} \end{bmatrix} \begin{bmatrix} a_0 \\ a_1 \\ \vdots \\ a_n \end{bmatrix} = \begin{bmatrix} \sum_{i=1}^m W_i y_i \\ \sum_{i=1}^m W_i x_i y_i \\ \vdots \\ \sum_{i=1}^m W_i x_i^n y_i \end{bmatrix}$$

例 7 已知一组实验数据 (x_i, y_i) 及相应的权 W_i ，如下表所示。若 x 与 y 之间有线性关系 $y = a + bx$ ，试用最小二乘法确定系 a 和 b 。

i	1	2	3	4
W_i	14	27	12	1
x_i	2	4	6	8
y_i	2	11	28	40

解 因为拟合曲线为一次多项式曲线（直线）：

$$\varphi(x) = a + bx$$

可得到相应的法方程组。将表中各已知数据代入即得法方程组：

$$\begin{cases} 54a + 216b = 701 \\ 216a + 984b = 3580 \end{cases}$$

解得： $a = -12.885$ ， $b = 6.467$ 。

注： 偏差 δ_i 绝对值的大小与权 W_i 的取法有关。为了使偏差 $\max_{1 \leq i \leq m} |\delta_i|$ 最小，就有**迭代权因子最小二乘法**（参见教材 p.112）。

● (*) 利用正交函数作最小二乘拟合

求解最小二乘法的法方程组中, 当 $n \geq 7$ 时, 法方程组往往是病态的, 解决这一困难的方法之一就是利用正交函数作最小二乘拟合。

对于点集 $\{x_i\}$ 和权 $\{W_i\} (i=1, 2, \dots, m)$, 若一组函数 $\varphi_0(x), \varphi_1(x), \dots, \varphi_n(x) (n < m)$ 满足条件:

$$(\varphi_k, \varphi_j) = \sum_{i=1}^m W_i \varphi_k(x_i) \varphi_j(x_i) = \begin{cases} 0, & k \neq j \\ A_k > 0, & k = j \end{cases}$$

则称 $\varphi_0(x), \varphi_1(x), \dots, \varphi_n(x)$ 是关于点集 $\{x_i\}$ 带权 $\{W_i\}$ 的正交函数族。

若所考虑的函数类

$$\Phi = \text{span}\{\varphi_0(x), \varphi_1(x), \dots, \varphi_n(x)\}$$

中的基函数 $\varphi_0(x), \varphi_1(x), \dots, \varphi_n(x)$ 是关于给定点集 $\{x_i\}$ 和权 $\{W_i\}$ 的正交函数族, 则法方程组的系数矩阵中, 非对角线上元素 $(\varphi_k, \varphi_j) = 0 (k \neq j)$, 此时法方程组简化为:

$$\begin{bmatrix} (\varphi_0, \varphi_0) & & & \\ & (\varphi_1, \varphi_1) & & \\ & & \ddots & \\ & & & (\varphi_n, \varphi_n) \end{bmatrix} \begin{bmatrix} a_0 \\ a_1 \\ \vdots \\ a_n \end{bmatrix} = \begin{bmatrix} (\varphi_0, f) \\ (\varphi_1, f) \\ \vdots \\ (\varphi_n, f) \end{bmatrix}$$

只要由此解出

$$a_k = a_k^*, \quad k = 0, 1, \dots, n$$

就可得到最小二乘解:

$$\varphi^*(x) = a_0^* \varphi_0(x) + a_1^* \varphi_1(x) + \cdots + a_n^* \varphi_n(x)$$

由 $(\varphi_k, \varphi_k) \neq 0$ ($k = 0, 1, \dots, n$), 故由方程组的解为:

$$a_k^* = \frac{(\varphi_k, f)}{(\varphi_k, \varphi_k)} = \frac{\sum_{i=1}^m W_i \varphi_k(x_i) y_i}{\sum_{i=1}^m W_i [\varphi_k(x_i)]^2}, \quad k = 0, 1, \dots, n$$

这样, 就避免了求解一个病态方程组。